

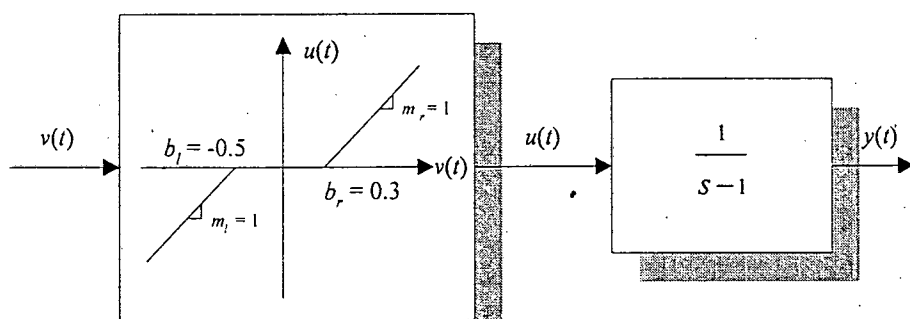
บทที่ 5

ตัวอย่างการออกแบบและผลการจำลอง

เนื้อหาในบทนี้จะประกอบไปด้วยตัวอย่างการออกแบบตัวควบคุมด้วยวิธีที่ได้นำเสนอไปแล้ว ในบทที่ 4 เริ่มจากตัวอย่างที่ 5.1 เป็นการพิจารณาระบบเชิงเส้น ไม่แปรตามเวลา (Linear time-invariant systems) ที่มีเขตไร้ผลสนองไม่ทราบค่าซึ่งถูกควบคุมด้วยส่วนผกผันของเขตไร้ผลสนองแบบปรับตัวเอง (Adaptive dead-zone inverse) เปรียบเทียบกับวิธีการที่ได้นำเสนอ จากนั้นในตัวอย่างที่ 5.2 จะพิจารณาระบบที่มีความชันของเขตไร้ผลสนองไม่เท่ากัน ในตัวอย่างที่ 5.3 แสดงการควบคุมระบบที่สามารถจำลองได้ด้วยระบบเชิงเส้นที่แปรตามเวลา (Linear time-varying systems) เพื่อแสดงประสิทธิภาพของวิธีที่ได้นำเสนอ ในตัวอย่างสุดท้ายได้แสดงผลการจำลองตัวควบคุมที่นำเสนอเกี่ยวกับตัวควบคุมอินทิกรัลสัดส่วนเมื่อรู้พารามิเตอร์ส่วนที่เป็นเชิงเส้นและในกรณีที่ไม่รู้พารามิเตอร์ของระบบเลย โดยแสดงผลเปรียบเทียบกับวิธีการควบคุมแบบปรับตัวเองชนิดแบบจำลองอ้างอิงธรรมดา

ตัวอย่างที่ 5.1

จุดประสงค์ เพื่อเปรียบเทียบการควบคุมระบบที่ประกอบด้วยเขตไร้ผลสนองไม่ทราบค่าด้วยวิธีส่วนผกผันของเขตไร้ผลสนองแบบปรับตัวเองกับวิธีที่ได้นำเสนอใน ส่วนที่ 4.3 เพราะว่าส่วนผกผันของเขตไร้ผลสนองแบบปรับตัวเองที่ใช้ใน [11] แม้จะเป็นการป้อนกลับตัวแปรสถานะ (State feedback) เหมือนกันแต่มีข้อจำกัดที่ว่าจะต้องรู้พารามิเตอร์ที่แน่นอนของระบบมีเพียงแต่พารามิเตอร์ของเขตไร้ผลสนองเท่านั้นที่ไม่รู้ ดังนั้นตัวควบคุมเปรียบเทียบจึงนำมาจาก [12] ที่ใช้การป้อนกลับสัญญาณออก (Output feedback) ซึ่งได้กล่าวถึงไว้ในบทที่ 3 ส่วนระบบที่นำมาพิจารณาเป็นระบบอันดับหนึ่งตามรูปที่ 5.1 เพื่อที่สัญญาณออกที่ได้จะเป็นตัวแปรสถานะด้วยและเพื่อลดความซับซ้อนในการออกแบบส่วนผกผันของเขตไร้ผลสนองแบบปรับตัวเองที่ต้องใช้ตัวควบคุมอันดับสิบสี่ในการควบคุมระบบอันดับสอง



รูปที่ 5.1 ระบบที่พิจารณา

การออกแบบส่วนผกผันของเขตไร้ผลสนองแบบปรับตัวเอง

จากโครงสร้างของตัวควบคุมในสมการที่ (3.2.3)

$$v(t) = \begin{cases} \frac{u_d(t) + \hat{m}_r \hat{b}_r(t)}{\hat{m}_r(t)}, & u_d(t) > \beta \\ 0, & -\beta \leq u_d(t) \leq \beta \\ \frac{u_d(t) + \hat{m}_l \hat{b}_l(t)}{\hat{m}_l(t)}, & u_d(t) < -\beta \end{cases} \quad (5.1.1)$$

โดย $u_d(t) = \theta_2(t)\omega_2(t) + \theta_3(t)r(t) + \theta_4^T(t)\omega_4(t)$

ในทางอุดมคติ β จะมีค่าเข้าใกล้ศูนย์ในตัวอย่างนี้กำหนดให้ $\beta = 0.1$ เพื่อลดการสวิตชิง $\hat{m}_r \hat{b}_r(t)$ แทนค่าคาดเดาของ $m_r b_r^*$ เนื่องจากในตัวอย่างสมมุติว่าความชันเท่ากันดังนั้นเราจะตัดตัวห้อย r และ l ออกไป ในกรณีที่เกิดรบกวนของระบบเชิงเส้นแน่นอน สัญญาณควบคุมที่ใช้ควบคุมส่วนที่เป็นเชิงเส้นเมื่อไม่มีเขตไร้ผลสนอง คือ

$$u_d^*(t) = \theta_1^* \omega_1(t) + \theta_2^* \omega_2(t) + \theta_3^* r(t) \quad (5.1.2)$$

โดยสำหรับระบบอันดับหนึ่ง

$$\omega_1 = \frac{1}{\Lambda(s)}[u_d](t), \quad \omega_2 = \frac{1}{\Lambda(s)}[y](t), \quad \omega_4 = \left[\frac{1}{\Lambda(s)}[-v](t) \quad \frac{1}{\Lambda(s)}[x](t) \quad \frac{1}{\Lambda(s)}[1-x](t) \right]^T$$

$$\omega_0(t) = \begin{bmatrix} -v(t) & x(t) & 1-x(t) \end{bmatrix}^T, \quad \chi(t) = \begin{cases} 1, & u_d(t) \geq 0 \\ 0, & \text{อื่นๆ} \end{cases}$$

กำหนดให้แบบจำลองอ้างอิง

$$y_m(t) = W_m(s)[r](t) = \frac{1}{s+3}[r](t) \quad (5.1.3)$$

จากเงื่อนไขเท่าเทียมในสมการที่ (3.2.7)

$$\theta_1^*(s-1) + \theta_2^* = (s+1)((s-1) - \theta_3^*(s+3)), \quad \theta_3^* = 1$$

จะได้ว่า

$$\theta_1^* = -4, \quad \theta_2^* = -8, \quad \theta_3^* = 1, \quad \theta_4^* = -\theta_1^* \otimes \theta_0^*, \quad \otimes \text{ แทนผลคูณโคเรนเคเกอร์ (Kronecker product)}$$

$$\theta_0(t) = \begin{bmatrix} \hat{m}(t) & \hat{m} \hat{b}_r(t) & \hat{m} \hat{b}_l(t) \end{bmatrix}^T, \quad \theta(t) = \begin{bmatrix} \theta_2(t) & \theta_3(t) & \theta_4^T(t) & \theta_0^T(t) \end{bmatrix}^T$$

$$\omega(t) = \begin{bmatrix} \omega_2(t) & r(t) & \omega_4^T(t) & \omega_0^T(t) \end{bmatrix}^T$$

กฎการปรับ

$$\dot{\theta}(t) = -\frac{\Gamma \zeta(t) \varepsilon(t)}{1 + \zeta(t)^T \zeta(t) + \xi(t)^2} - \Gamma \sigma(\theta(t)) \theta(t), \quad \Gamma = \Gamma^T > 0 \quad (5.1.4)$$

$$\dot{\rho}(t) = -\frac{\gamma \xi(t) \varepsilon(t)}{1 + \zeta(t)^T \zeta(t) + \xi(t)^2} - \gamma \sigma(\rho(t)) \rho(t), \quad \gamma > 0 \quad (5.1.5)$$

โดยที่ $\rho(t)$ เป็นค่าคาดเดาของ $\rho^* = \theta_3^{*-1}$, $e = y - y_m$, $\varepsilon(t) = e(t) + \rho(t)\xi(t)$, $\zeta(t) = W_m(s)[\omega](t)$,

$$\xi(t) = \theta(t)^T \zeta(t) - W_m(s)[\theta^T \omega](t)$$

$\sigma(\theta(t))$ และ $\sigma(\rho(t))$ นิยามเหมือนกันคือ

$$\sigma(\theta(t)) = \begin{cases} 0 & \text{ถ้า } \|\theta(t)\| < M_0 \\ \sigma_0 \left(\frac{\|\theta(t)\|}{M_0} - 1 \right) & \text{ถ้า } M_0 \leq \|\theta(t)\| < 2M_0 \\ \sigma_0 & \text{ถ้า } \|\theta(t)\| \geq 2M_0 \end{cases} \quad (5.1.6)$$

โดย $\sigma_0 > 0$ เป็นตัวแปรในการออกแบบ M_0 เป็นขอบเขตบนของ $\|\theta^*\|$ ซึ่งเป็นความรู้เบื้องต้นนั้นคือ $\|\theta^*\| < M_0$ และขอบเขตบนสำหรับ $\rho(t)$ คือค่าคงที่ซึ่งมากกว่า $|\rho^*| = |\theta_3^*|^{-1}$ ข้อที่สำคัญมากอีกอย่างหนึ่งได้แก่พารามิเตอร์ $\theta_0(t)$ จะต้องถูกบังคับคือ $\dot{m}(t) \geq m^0 > 0$, $\dot{m}b_r(t) \geq 0$, $\dot{m}b_l(t) \leq 0$ เพื่อให้ตัวควบคุม (5.1.1) สามารถสร้างได้จริง

ตัวแปรออกแบบและค่าเริ่มต้นที่ใช้มีค่าดังต่อไปนี้

$$\beta = 0.1, \quad \sigma_{0\theta} = \sigma_{0\rho} = 0.01, \quad m^0 = 0.1, \quad M_{0\theta} = 12, \quad M_{0\rho} = 2$$

$$\theta_{01}(0) = \hat{m}(0) = 3, \quad \theta_{02}(0) = \hat{m}b_r(0) = 1, \quad \theta_{03}(0) = \hat{m}b_l(0) = -1, \quad \rho(0) = 0.5, \quad \gamma = 5, \quad \Gamma = 5$$

$$\theta_2(0) = -7, \quad \theta_3(0) = 0.5, \quad \theta_{41}(0) = 3, \quad \theta_{42}(0) = 1, \quad \theta_{43}(0) = -1$$

การออกแบบตัวควบคุมที่น่าเสนอ

โครงสร้างของตัวควบคุมเป็นไปตามสมการที่ (4.3.4) คือ

$$v(t) = -k(t)y(t) + l(t)r(t) - \delta(t)\text{sat}(s(t)) \text{sgn}(l^*) \quad (5.1.7)$$

เงื่อนไขเมทซิงคือ $a - a_m = bmk^*$ และ $b_m = bml^*$ ดังนั้น $k^* = 4$, $l^* = 1$, $\delta^* = 0.5$

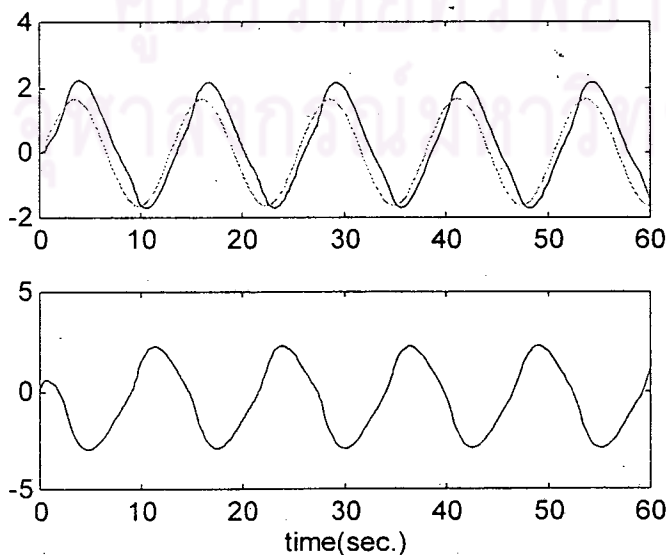
$$\dot{k}(t) = b_m P e(t) y(t) - \sigma_1(t) k(t), \quad \dot{l}(t) = -b_m P e(t) r(t) - \sigma_2(t) l(t)$$

$$\dot{\delta}(t) = \gamma e(t) P b_m \text{sat}(s(t)) - \sigma_3(t) \delta(t)$$

ตัวแปรออกแบบและค่าเริ่มต้นถูกกำหนดเพื่อให้ตัวควบคุมมีผลตอบสนองที่ใกล้เคียงกับตัวควบคุมแรก $k(0) = 3$, $l(0) = 0$, $\delta(0) = 0$, $P = 1$, $\gamma = 0.5$, $\varepsilon = 0.1$, $\sigma_{0i} = 0.01$, $i = 1, 2, 3$

ต่อไปจะเป็นการเปรียบเทียบตัวควบคุมทั้งสองในด้านต่างๆ

การทดสอบที่ 5.1.1 เพื่อแสดงผลกระทบในการใช้ตัวควบคุมครั้งที่ (5.1.2) กับระบบที่มีเขตไร้อผลสนอง

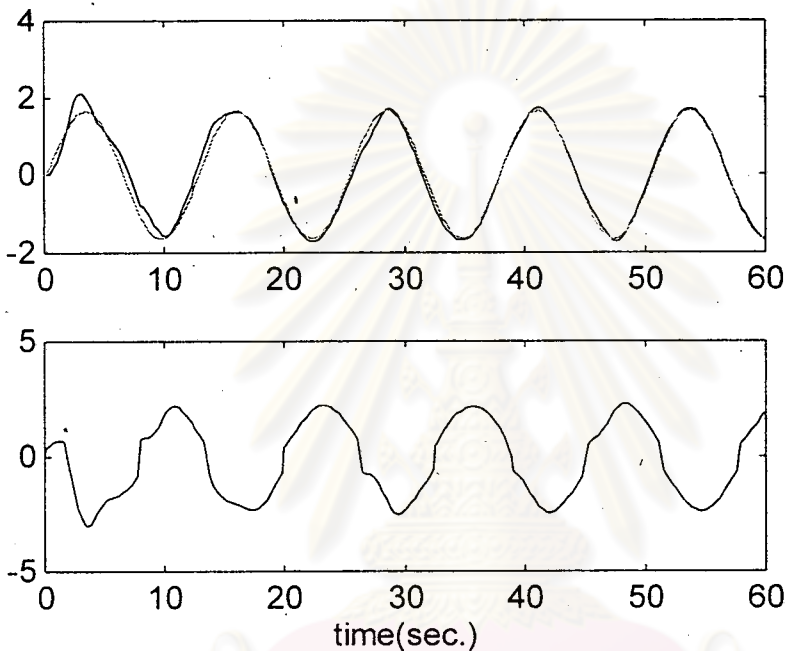


รูปที่ 5.2 ผลที่ได้จากตัวควบคุมครั้งที่ (5.1.2)

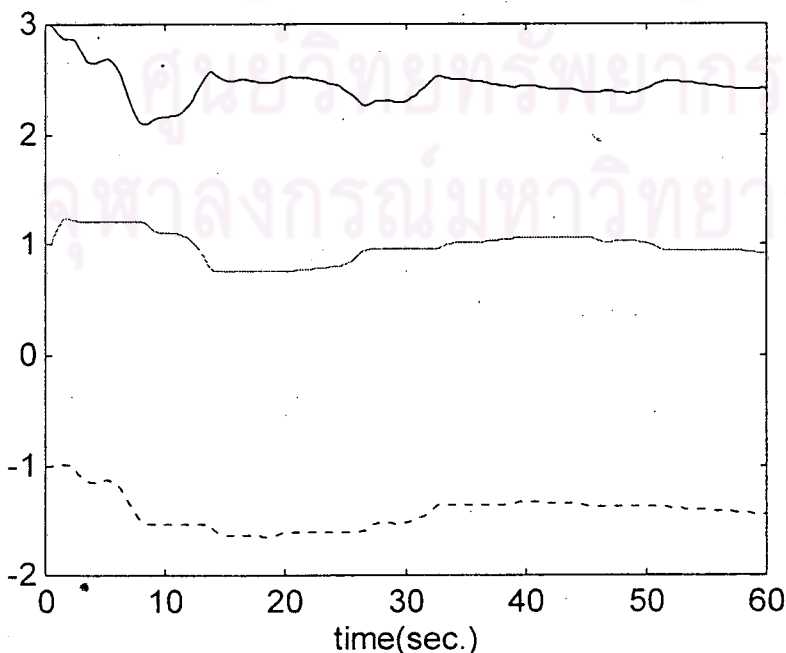
(บน) $y(t)$ (เส้นเข้ม) และ $y_m^*(t)$ (ล่าง) $u_d^*(t)$

จากผลการจำลองจะเห็นว่าผลกระทบที่สำคัญของเขตไร้ผลสนองคือการทำให้เกิดความคลาดเคลื่อนทั้งนี้เพราะสัญญาณควบคุมผิดเพี้ยนไปจากที่ควรจะเป็น

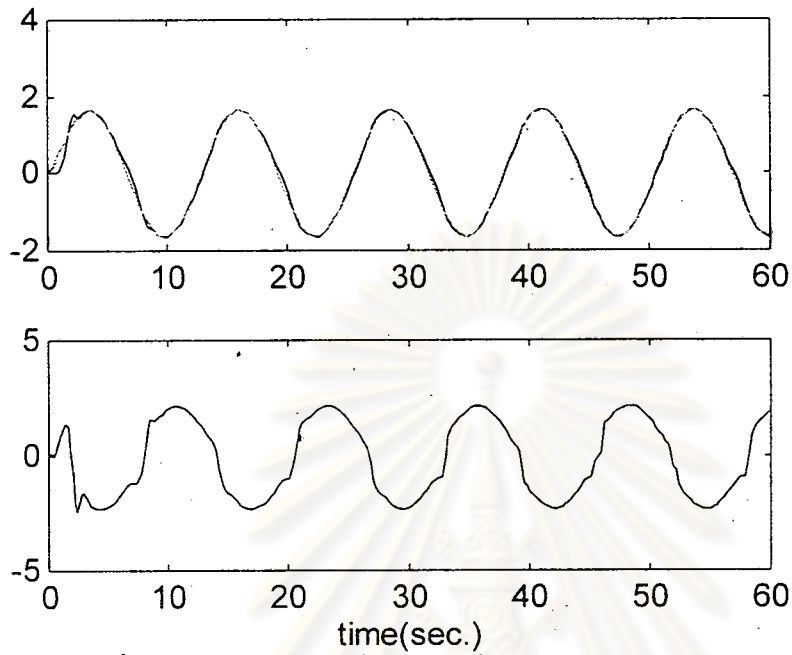
การทดสอบที่ 5.1.2 เพื่อแสดงผลกระทบของสัญญาณอ้างอิง $r(t)$ ที่มีต่อพารามิเตอร์ของตัวควบคุม โดยจะเปรียบเทียบระหว่าง $r(t) = \sin(0.5t)$ และ $r(t) =$ พัลส์สี่เหลี่ยมที่มีคาบ $T = 20$ วินาที ความกว้างของพัลส์ $W = 10$ วินาที ความสูง $H = 5$ หน่วย



รูปที่ 5.3 ผลที่ได้จากส่วนผกผันของเขตไร้ผลสนองแบบปรับตัวเองเมื่อใช้สัญญาณอ้างอิงไซน์ (บน) $y(t)$ (เส้นเข็ม) และ $y_m(t)$ (ล่าง) สัญญาณควบคุม $\hat{v}(t)$ จาก (5.1.1)

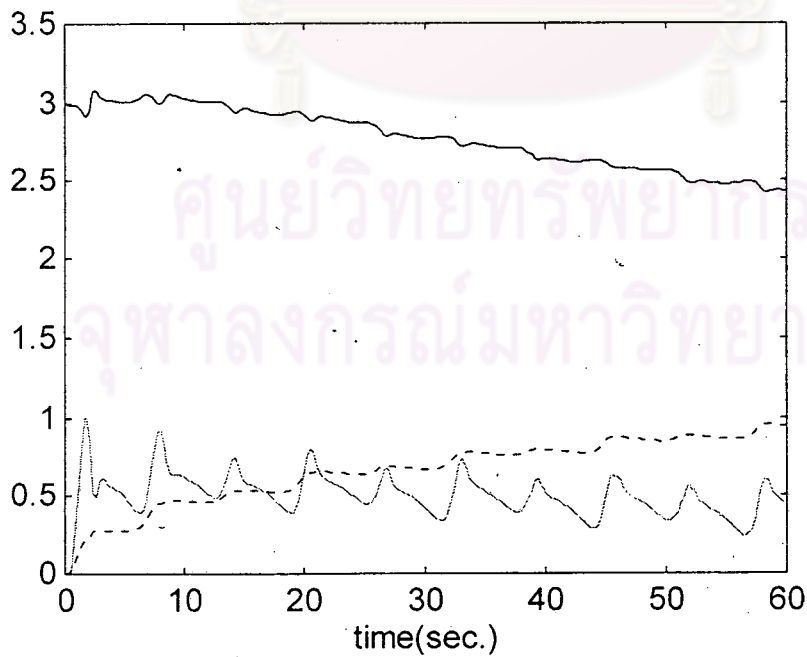


รูปที่ 5.4 พารามิเตอร์ส่วนที่ใช้สร้างส่วนผกผันของเขตไร้ผลสนองแบบปรับตัวเองใน (5.1.1)
(เส้นเข็ม) $\hat{m}(t)$ (เส้นจาง) $\hat{m}_b(t)$ (เส้นประ) $\hat{m}_p(t)$



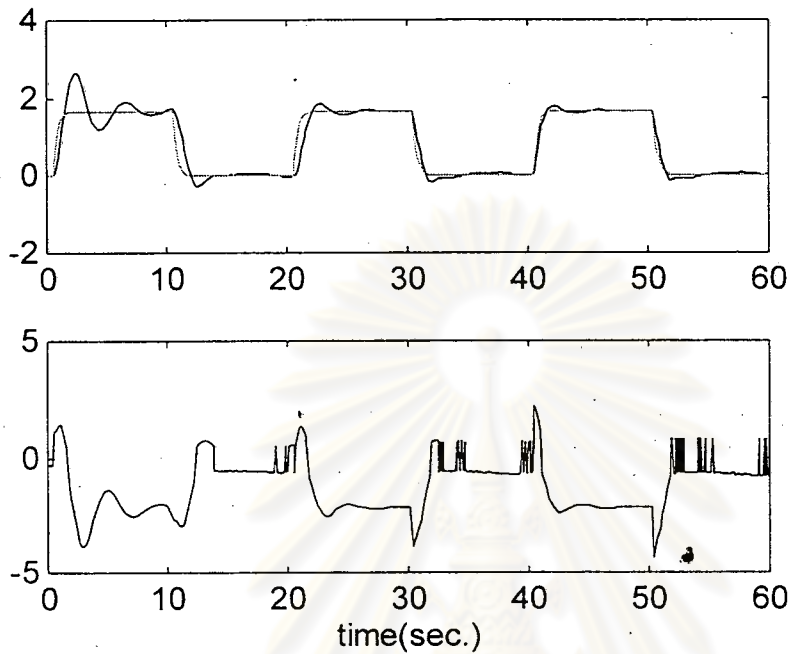
รูปที่ 5.5 ผลที่ได้จากวิธีที่นำเสนอเมื่อใช้สัญญาณอ้างอิงไซน์

(บน) $y(t)$ (เส้นเข้ม) และ $y_m(t)$ (ล่าง) สัญญาณควบคุม $v(t)$ จาก (5.1.7)

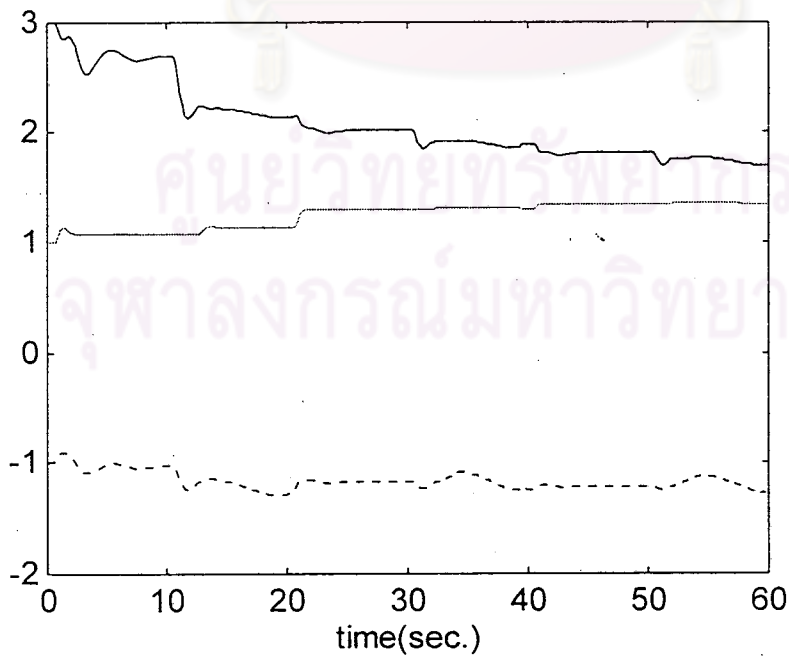


รูปที่ 5.6 พารามิเตอร์ของตัวควบคุม (5.1.7)

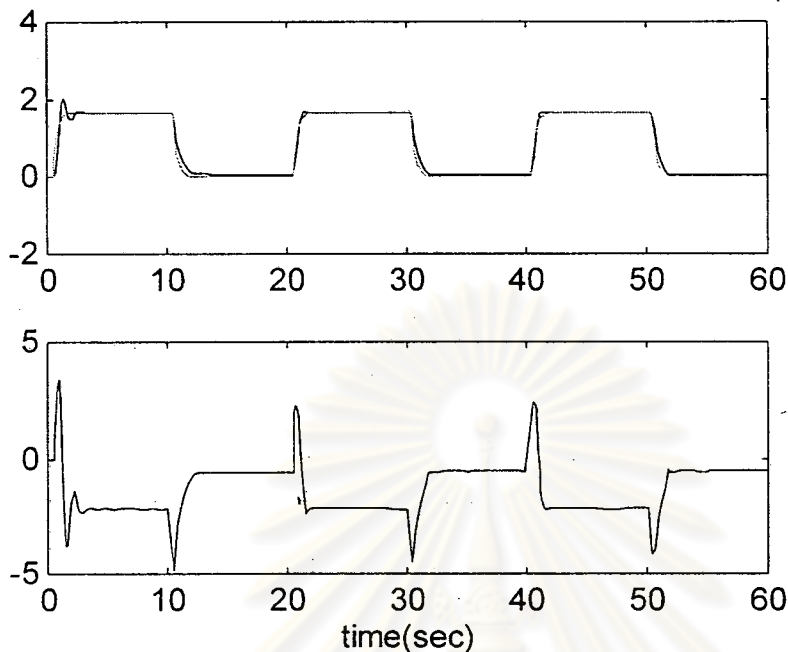
(เส้นเข้ม) $k(t)$ (เส้นจาง) $l(t)$ (เส้นประ) $x(t)$



รูปที่ 5.7 ผลที่ได้จากส่วนผกผันของเขตไร้ผลสนองแบบปรับตัวเองเมื่อใช้สัญญาณอ้างอิงพัลส์
(บน) $y(t)$ (เส้นเข้ม) และ $y_m(t)$ (ล่าง) สัญญาณควบคุม $v(t)$ จาก (5.1.1)

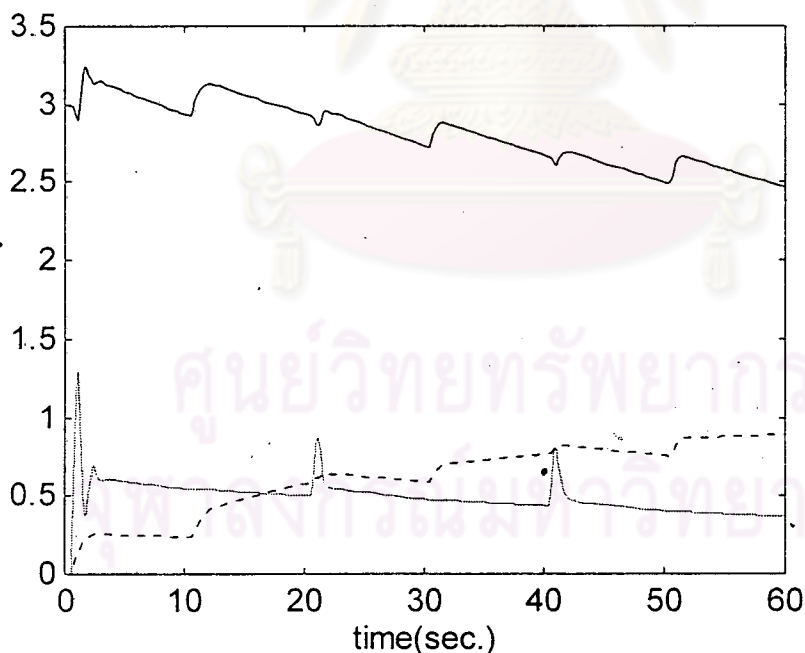


รูปที่ 5.8 พารามิเตอร์ส่วนที่ใช้สร้างส่วนผกผันของเขตไร้ผลสนองแบบปรับตัวเองใน (5.1.1)
(เส้นเข้ม) $\hat{m}(t)$ (เส้นจาง) $\hat{m}b_r(t)$ (เส้นประ) $\hat{m}b_l(t)$



รูปที่ 5.9 ผลที่ได้จากวิธีที่นำเสนอเมื่อใช้สัญญาณอ้างอิงพัลส์

(บน) $y(t)$ (เส้นเข้ม) และ $y_m(t)$ (ล่าง) สัญญาณควบคุม $v(t)$ จาก (5.1.7)



รูปที่ 5.10 พารามิเตอร์ของตัวควบคุม (5.1.7)

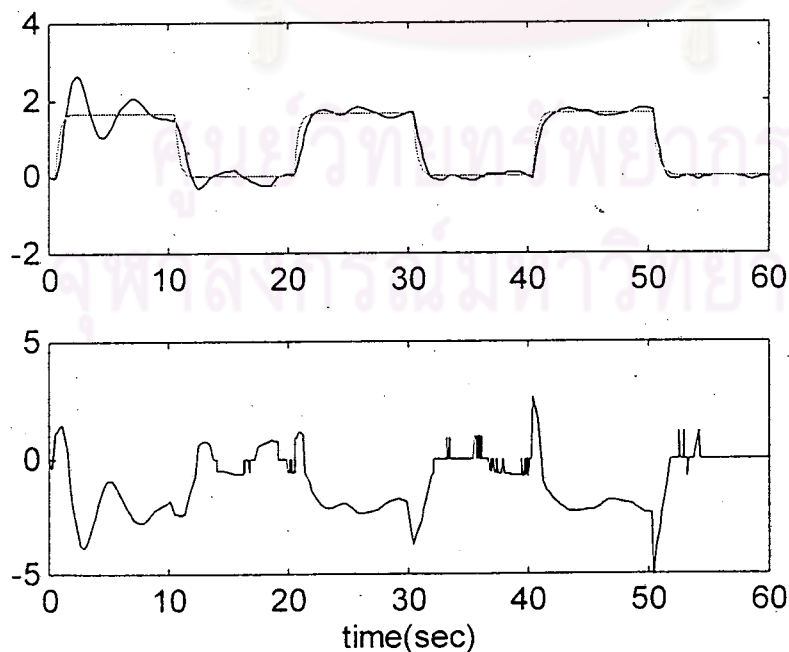
(เส้นเข้ม) $k(t)$ (เส้นจาง) $l(t)$ (เส้นประ) $\alpha(t)$

จะเห็นว่าเมื่อสัญญาณอ้างอิงเป็นสัญญาณที่ซับซ้อนพารามิเตอร์ของตัวควบคุมทั้งสองจะเข้าสู่สถานะอยู่ตัวได้เร็วกว่าสัญญาณคงที่ พารามิเตอร์ของเซตไร้ผลสนองแบบปรับตัวเองแสดงไว้เฉพาะ $\hat{m}(t)$, $\hat{m}b_r(t)$, $\hat{m}b_l(t)$ ซึ่งเป็นส่วนที่สำคัญเพราะเราจะต้องบังคับพารามิเตอร์ส่วนนี้ไว้ ค่าเริ่มต้นของพารามิเตอร์นี้ควรมีขนาดที่มากกว่าค่าจริงเพราะว่าเมื่อสัญญาณอ้างอิงเป็นค่าคงที่พารามิเตอร์ที่สถานะอยู่ตัวอาจจะไม่ใช่ค่าจริงและค่าที่เป็นไปได้ก็มีมากมายสำหรับค่าเริ่มต้นที่แตกต่างกัน

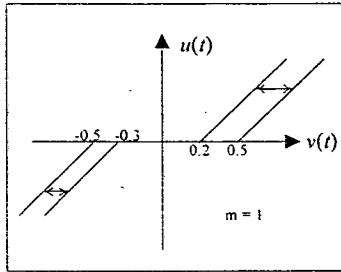
ถ้าเราให้พารามิเตอร์เริ่มต้นมีขนาดเล็กเกินไปจึงมีความเป็นไปได้สูงที่ค่าอยู่ตัวของมันจะน้อยกว่าค่าต่ำสุดที่ตั้งไว้ทำให้ต้องหยุดการปรับทั้งๆที่พารามิเตอร์นั้นไม่ใช่ค่าที่ถูกต้อง ในทางกลับกันถ้าพารามิเตอร์เริ่มต้นมีขนาดเกินกว่าความเป็นจริงมากเกินไปค่าที่สถานะอยู่ตัวก็อาจจะไม่ใช่ค่าที่ถูกต้องอีกเช่นกัน ถ้าพารามิเตอร์เหล่านี้แตกต่างจากค่าจริงมากส่วนผกผันที่สร้างขึ้นก็จะลดผลของเขตไร้ผลสนองได้น้อยลงด้วยดังนั้นสัญญาณควบคุมจะถูกรบกวนอยู่ตลอดเวลาด้วยผลของเขตไร้ผลสนองที่ยังหลงเหลืออยู่ ผลที่ตามมาคือความคลาดเคลื่อนในการตาม (Tracking error) ที่มีขนาดใหญ่เพราะว่าโดยคุณสมบัติของการควบคุมแบบปรับตัวเองที่มั่นคง (Robust adaptive control) ที่ใช้ในส่วนผกผันของเขตไร้ผลสนองแบบปรับตัวเอง ขนาดของความคลาดเคลื่อนในการตามจะขึ้นกับระดับของการรบกวนและการพิสูจน์จะรับรองได้เพียงขนาดความคลาดเคลื่อนมีค่าเล็กแบบนัยกำลังสองเฉลี่ยดังสมการ (3.2.11) ส่วนวิธีที่น่าเสนอนั้นแม้ค่าพารามิเตอร์ที่สถานะอยู่ตัวจะไม่ตรงกับค่าจริงก็จะมีผลต่อความคลาดเคลื่อนในการตามเพราะไม่ได้ใช้พารามิเตอร์ของเขตไร้ผลสนองโดยตรงและจากการพิสูจน์สามารถรับรองได้ว่าความคลาดเคลื่อนที่สถานะอยู่ตัวมีค่าเล็กๆอยู่ในเขตคางหนึ่ง

การทดสอบที่ 5.1.3 เพื่อเปรียบเทียบประสิทธิภาพและความมั่นคงของการควบคุมต่อความไม่แน่นอนต่างๆ

เริ่มแรกเราจะพิจารณาผลกระทบที่เกิดจากการเปลี่ยนแปลงแถบไร้ผลสนอง (Dead band) โดยแถบไร้ผลสนองเปลี่ยนแปลงสลับไปมาทุกๆ 3 วินาที ดังรูปที่ 5.12

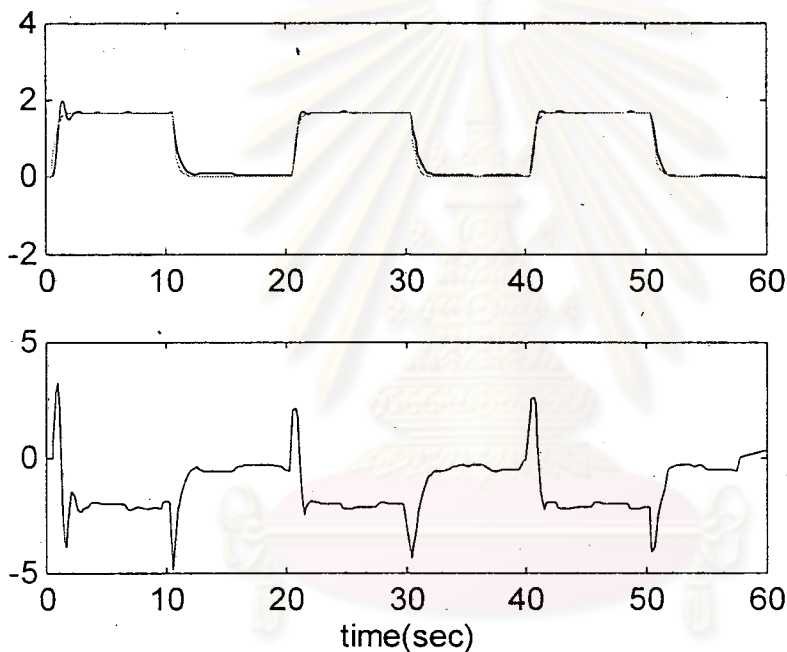


รูปที่ 5.11 ผลที่ได้จากส่วนผกผันของเขตไร้ผลสนองแบบปรับตัวเองเมื่อแถบไร้ผลสนองเปลี่ยนแปลงอยู่ตลอดเวลา (บน) $y(t)$ (เส้นเข้ม) และ $y_m(t)$ (ล่าง) สัญญาณควบคุม $v(t)$ จาก (5.1.1)



รูปที่ 5.12 เขตไร้ผลสนองที่มีแถบไร้ผลสนองเปลี่ยนแปลงตลอดเวลา

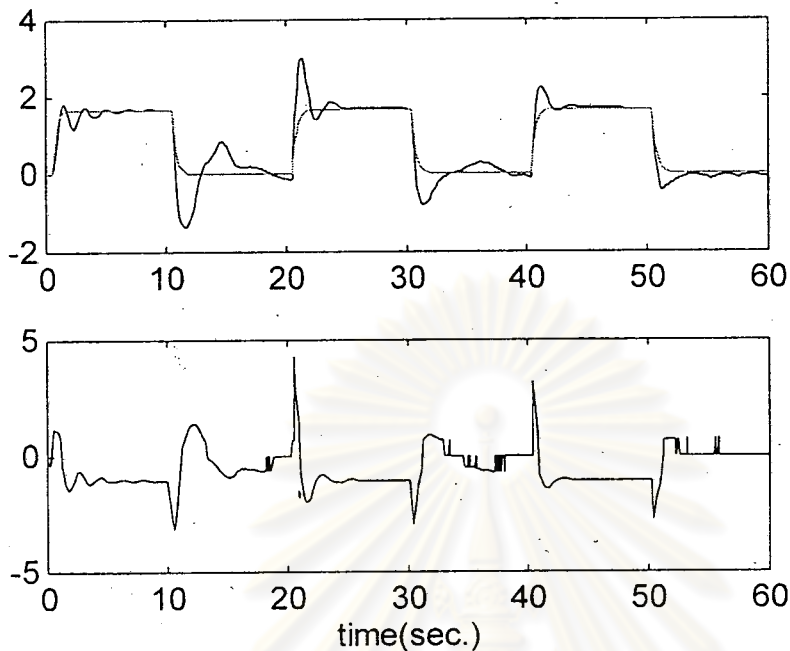
จะเห็นว่าส่วนผกผันของเขตไร้ผลสนองแบบปรับตัวเองไม่สามารถลดความคลาดเคลื่อนที่เกิดจากแถบไร้ผลสนองที่แปรตามเวลาได้ ส่วนวิธีที่นำเสนอยังคงทำให้การควบคุมบรรลุจุดประสงค์ได้คือความคลาดเคลื่อนที่สภาวะอยู่ตัวจะมีขนาดเล็กและสัญญาณควบคุมก็ยังคงมีขนาดใกล้เคียงกับกรณีที่แถบไร้ผลสนองคงที่



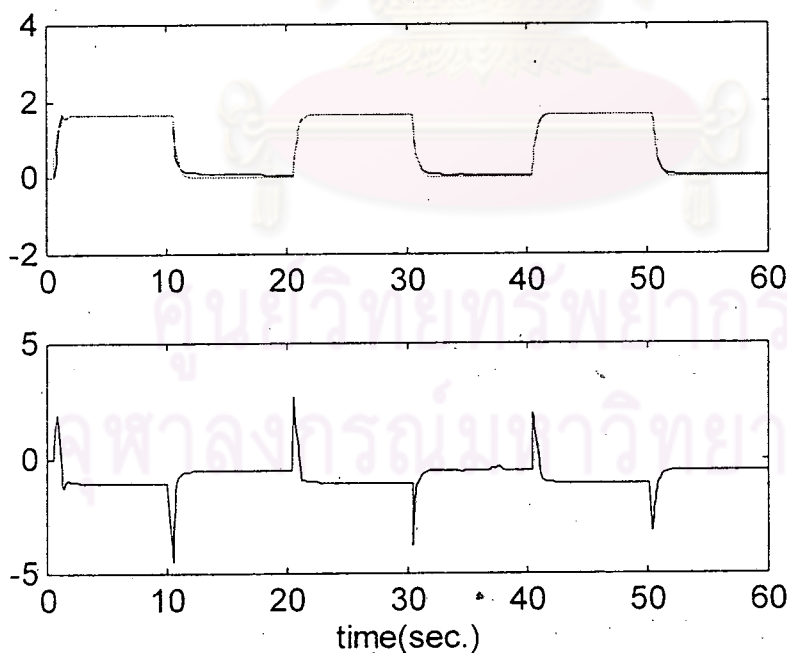
รูปที่ 5.13 ผลที่ได้จากวิธีที่นำเสนอเมื่อแถบไร้ผลสนองเปลี่ยนแปลงอยู่ตลอดเวลา
(บน) $y(t)$ (เส้นเข้ม) และ $y_m(t)$ (ล่าง) สัญญาณควบคุม $v(t)$ จาก (5.1.7)

เนื่องจากว่าในตอนออกแบบตัวควบคุมเราสมมุติว่าความชันของเขตไร้ผลสนองมีค่าเท่ากัน ดังนั้นเราจะลองมาเปรียบเทียบดูว่าในกรณีที่ความชันไม่เท่ากันจะมีผลกระทบต่อกับการควบคุมอย่างไรบ้าง โดยความชันของเขตไร้ผลสนองในรูปที่ 5.1 มีค่าดังนี้ $m_r = 2$, $m_l = 3$

ผลการจำลองแสดงไว้ในรูปที่ 5.14 และรูปที่ 5.15 จะเห็นว่าทั้งสองวิธียังคงทำให้ความคลาดเคลื่อนในการตามมีขนาดลดลงได้เป็นที่น่าพอใจแต่วิธีที่ได้แนะนำนั้นค่อนข้างที่จะให้ผลตอบสนองที่ดีกว่าทั้งในสภาวะเริ่มต้นและสภาวะอยู่ตัว ค่าความชันที่ใช้ในการจำลอง m_r และ m_l ถือได้ว่ามีขนาดแตกต่างกันมาก ในความเป็นจริงแล้วถึงแม้ว่าความชันของเขตไร้ผลสนองจะไม่เท่ากันแต่ก็จะไม่ต่างกันมากนัก ดังนั้นการควบคุมยังคงบรรลุจุดประสงค์ได้แม้ว่าตัวควบคุมจะออกแบบไว้สำหรับกรณีที่ความชันเท่ากันก็ตาม

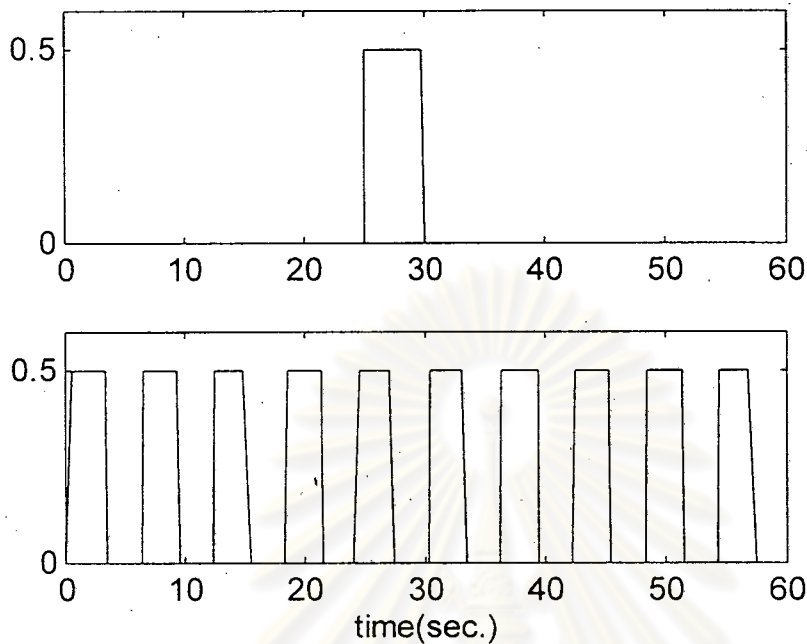


รูปที่ 5.14 ผลที่ได้จากส่วนผกผันของเขตไร้ผลสองแบบปรับตัวเองเมื่อความชันของเขตไร้ผลสองไม่เท่ากัน (บน) $y(t)$ (เส้นเข้ม) และ $y_m(t)$ (ล่าง) สัญญาณควบคุม $v(t)$ จาก (5.1.1)

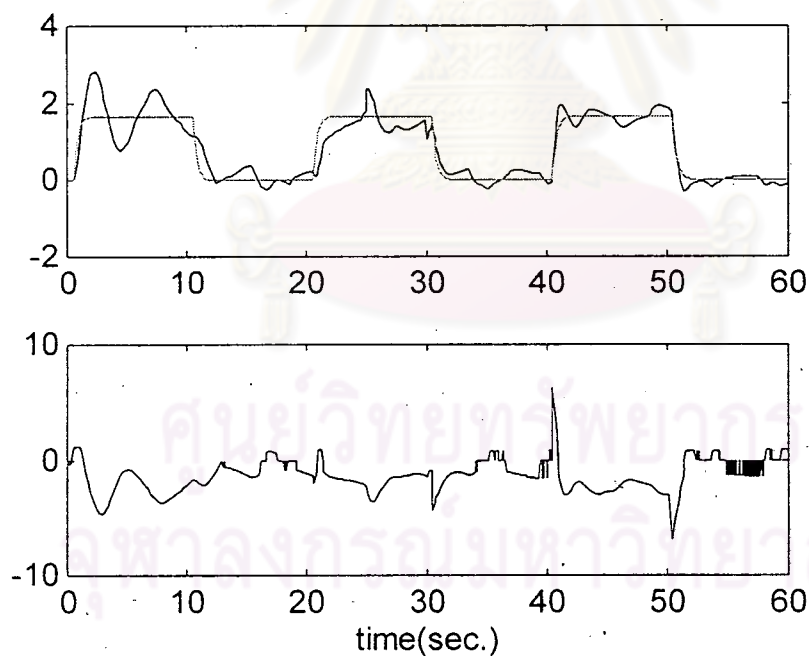


รูปที่ 5.15 ผลที่ได้จากวิธีที่นำเสนอเมื่อความชันของเขตไร้ผลสองไม่เท่ากัน (บน) $y(t)$ (เส้นเข้ม) และ $y_m(t)$ (ล่าง) สัญญาณควบคุม $v(t)$ จาก (5.1.7)

ข้อเปรียบเทียบอันสุดท้ายคือความสามารถในการควบคุมเมื่อระบบมีการรบกวนจากภายนอก สำหรับการรบกวนจะประกอบไปด้วยการรบกวนทางเข้า (Input disturbance) และการรบกวนทางออก (Output disturbance) โดยสัญญาณรบกวนทั้งสองแสดงไว้ในรูปที่ 5.16

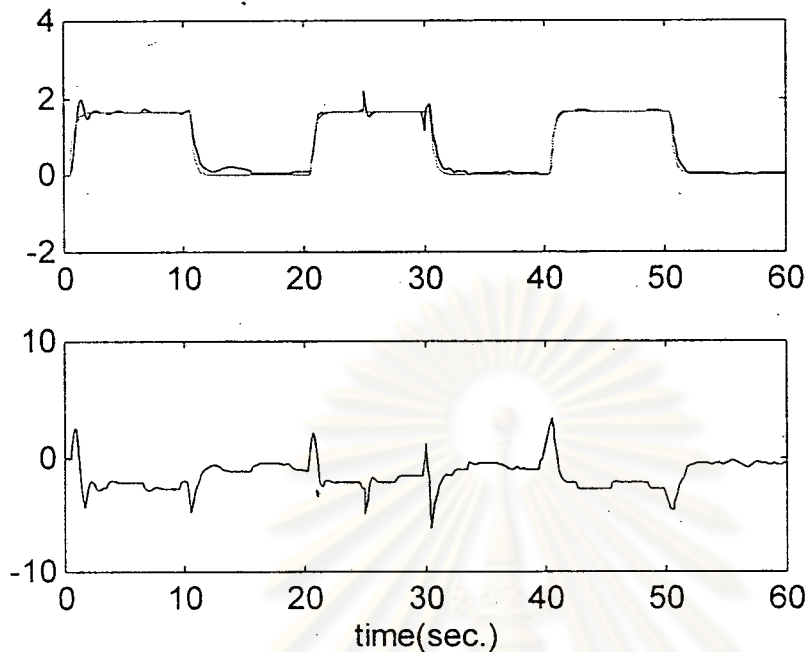


รูปที่ 5.16 (บน) สัญญาณรบกวนทางออก (ล่าง) สัญญาณรบกวนทางเข้า



รูปที่ 5.17 ผลที่ได้จากส่วนฝึกฝนของเซตไร้ผลสองแบบปรับตัวเองเมื่อมีการรบกวนจากภายนอก
(บน) $y(t)$ (เส้นเข้ม) และ $y_m(t)$ (ล่าง) สัญญาณควบคุม $v(t)$ จาก (5.1.1)

จากรูปที่ 5.17 และรูปที่ 5.18 แสดงว่าตัวควบคุมทั้งสองมั่นคง (Robust) ต่อการรบกวนทางเข้า และการรบกวนทางออกแต่ส่วนฝึกฝนของเซตไร้ผลสองแบบปรับตัวเองไม่สามารถลดความคลาดเคลื่อนในการตามที่มีสาเหตุมาจากการรบกวนทางเข้าได้ ส่วนวิธีที่นำเสนอยังคงสามารถลดความคลาดเคลื่อนในการตามได้เมื่อมีการรบกวนทางเข้าดังที่ได้เคยพิสูจน์ไปแล้วในบทที่ 4



รูปที่ 5.18 ผลที่ได้จากวิธีที่นำเสนอเมื่อมีการรบกวนจากภายนอก

(บน) $y(t)$ (เส้นแข็ง) และ $y_m(t)$ (ล่าง) สัญญาณควบคุม $v(t)$ จาก (5.1.7)

ตัวอย่างที่ 5.2

จุดประสงค์ เพื่อเปรียบเทียบตัวควบคุมที่นำเสนอ (4.3.4) และ (4.3.5) เมื่อความชันของเขตไร้ผลสองไม่เท่ากัน ต้องการควบคุมระบบไม่เสถียรต่อไปนี้เพื่อให้สัญญาณออกของระบบตามสัญญาณออกของแบบจำลองอ้างอิง

ระบบ

$$\begin{bmatrix} \dot{y}(t) \\ \ddot{y}(t) \end{bmatrix} = \begin{bmatrix} 0 & 1 \\ 6 & 1 \end{bmatrix} \begin{bmatrix} y(t) \\ \dot{y}(t) \end{bmatrix} + \begin{bmatrix} 0 \\ -2 \end{bmatrix} u(t)$$

แบบจำลองอ้างอิง

$$\begin{bmatrix} \dot{y}_m(t) \\ \ddot{y}_m(t) \end{bmatrix} = \begin{bmatrix} 0 & 1 \\ -4 & -4 \end{bmatrix} \begin{bmatrix} y_m(t) \\ \dot{y}_m(t) \end{bmatrix} + \begin{bmatrix} 0 \\ 1 \end{bmatrix} r(t)$$

เขตไร้ผลสองมีแถบไร้ผลสองอยู่ระหว่าง -0.3 ถึง 0.25 หรือ $b_l = -0.3$, $b_r = 0.25$ โดยมีความชัน $m_r = 1$ และ $m_l = 0.25$ ในกรณีที่ทราบพารามิเตอร์ของระบบและความชันของเขตไร้ผลสองตัวควบคุมที่ออกแบบมาสำหรับกรณีที่มีความชันเท่ากันตามสมการที่ (4.3.4)

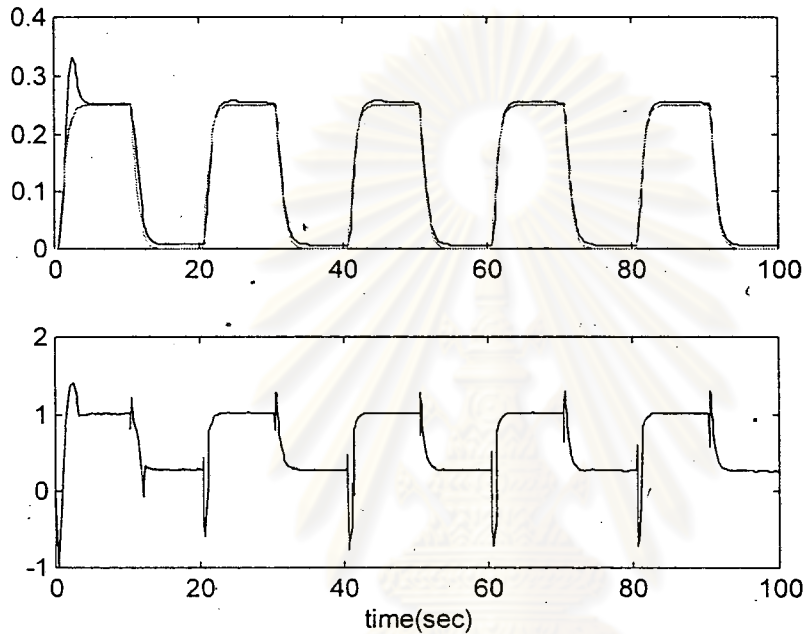
$$v(t) = -k_1(t)y(t) - k_2(t)\dot{y}(t) + l(t)r(t) - \delta(t) \text{sat}(s(t)) \text{sgn}(l^*) \quad (5.2.1)$$

จากเงื่อนไขเท่าเทียม $A - A_m = bmK^*$ และ $b_m = bml^*$ จะสามารถหาพารามิเตอร์ที่ต้องการได้ แต่เนื่องจากความชันของเขตไร้ผลสองไม่เท่ากันดังนั้นพารามิเตอร์ที่ต้องการเมื่อใช้ตัวควบคุมนี้จึงมีค่าเป็นไป
ได้ 2 ชุด คือ $k_1^* = -5$, $k_2^* = -\frac{5}{2}$, $l^* = -\frac{1}{2}$ เมื่อสัญญาณควบคุมอยู่ทางขวาของเขตไร้ผลสอง
และ $k_1^* = -20$, $k_2^* = -10$, $l^* = -2$ เมื่อสัญญาณควบคุมอยู่ทางซ้ายของเขตไร้ผลสอง

โดยกำหนดพารามิเตอร์เริ่มต้นดังนี้ $k_1(0) = -3$, $k_2(0) = -5$, $I(0) = -1$, $\delta(0) = 0$, $\gamma = 0.5$

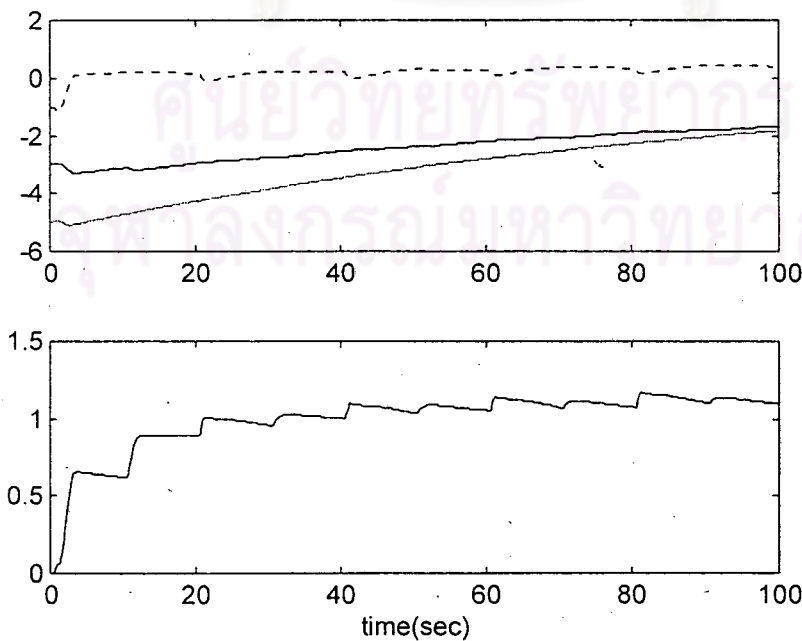
$$\varepsilon = \frac{1}{5}, \quad \sigma_{0i} = 0.01, \quad i = 1, 2, 3 \text{ และ } P = \begin{bmatrix} 39 & 7.5 \\ 7.5 & 2.25 \end{bmatrix} \quad \text{กฎการปรับที่ใช้เป็นไปตามสมการที่}$$

(4.3.9) ถึง (4.3.11) สัญญาณอ้างอิงที่ใช้เป็นพัลส์มีคาบเท่ากับ 20 วินาที ความกว้างของพัลส์เท่ากับ 10 วินาทีและความสูงเท่ากับ 1 หน่วย ผลการจำลองแสดงไว้ในรูปที่ 5.19 ถึง 5.20



รูปที่ 5.19 ผลการจำลองที่ได้จากการควบคุมระบบด้วยตัวควบคุม (5.2.1)

(บน) $y(t)$ (เส้นเข้มน) และ $y_m(t)$ (ล่าง) สัญญาณควบคุม



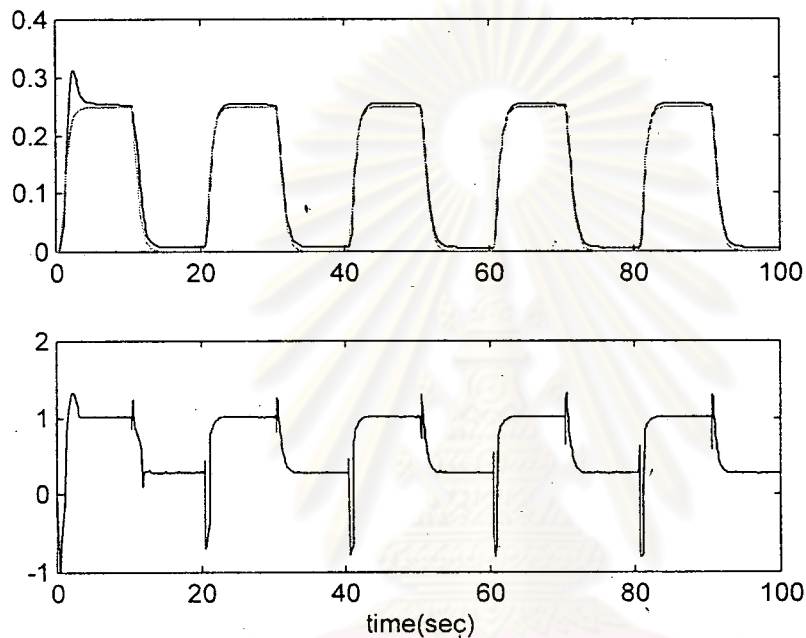
รูปที่ 5.20 ผลการจำลองที่ได้จากการควบคุมระบบด้วยตัวควบคุม (5.2.1)

(บน) พารามิเตอร์ $k_1(t)$ (เส้นเข้มน) $k_2(t)$ (เส้นจาง) และ $I(t)$ (เส้นประ) (ล่าง) พารามิเตอร์ $\delta(t)$

ต่อมเราจะเปลี่ยนไปใช้ตัวควบคุมที่ออกแบบไว้สำหรับเขตไร้ผลสนองที่มีความชันไม่เท่ากัน ตามสมการที่ (4.3.5) คือ

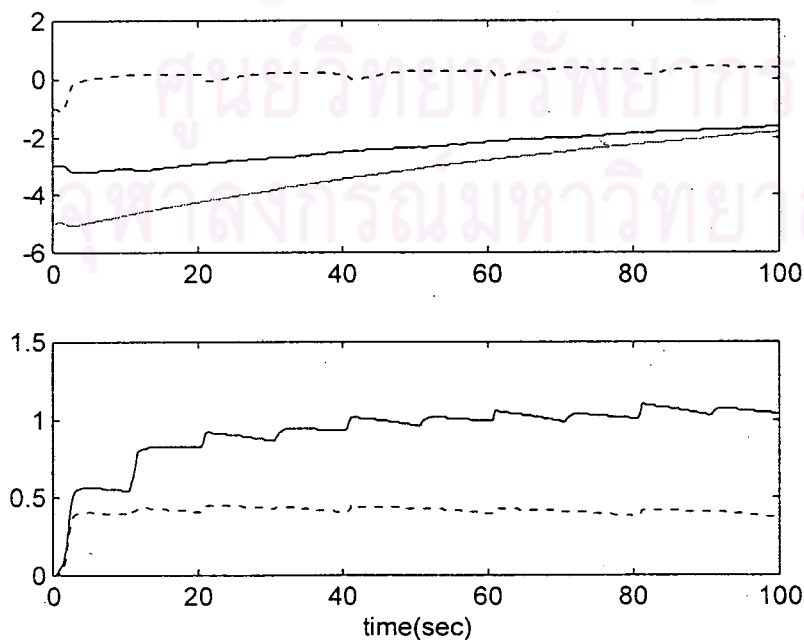
$$v(t) = -K(t)x(t) + l(t)r(t) - \delta(t) \text{sat}(s(t)) \text{sgn}(l^*) - \Delta m(t) |u_1(t)| \text{sat}(s(t)) \text{sgn}(l^*) \quad (5.2.2)$$

โดย พารามิเตอร์ในการออกแบบและค่าเริ่มต้นเหมือนกับตัวควบคุม (5.2.1) $\Delta m(0) = 0$, $\sigma_{04} = 0.01$, $\gamma_2 = 0.5$ กฎการปรับที่ใช้เป็นไปตามสมการ (4.3.24) ผลการจำลองแสดงไว้ในรูปที่ 5.21 และรูปที่ 5.22



รูปที่ 5.21 ผลการจำลองที่ได้จากการควบคุมระบบด้วยตัวควบคุม (5.2.2)

(บน) $y(t)$ (เส้นแข็ง) และ $y_m(t)$ (ล่าง) สัญญาณควบคุม



รูปที่ 5.22 ผลการจำลองที่ได้จากการควบคุมระบบด้วยตัวควบคุม (5.2.2) (บน) พารามิเตอร์ $k_1(t)$ (เส้นแข็ง) $k_2(t)$ (เส้นจาง) และ $l(t)$ (เส้นประ) (ล่าง) พารามิเตอร์ $\delta(t)$ (เส้นทึบ) $\Delta m(t)$

เมื่อเปรียบเทียบผลการจำลองระบบที่ถูกควบคุมด้วยตัวควบคุมทั้งสองพบว่า ตัวควบคุม (5.2.2) มีผลตอบสนองที่ดีกว่าเล็กน้อยแต่มีสัญญาณควบคุมที่แกว่งมากกว่าตัวควบคุม (5.2.1)

ตัวอย่างที่ 5.3

จุดประสงค์ เพื่อแสดงวิธีการควบคุมระบบเชิงเส้นแปรตามเวลาที่ได้เสนอไว้ในบทที่ 6

สมมติให้ระบบบรรยายได้ด้วย

$$\dot{y}(t) = a(t)y(t) + \begin{bmatrix} b(t) & 2 \end{bmatrix} u(t)$$

โดยที่ $a(t) = 2 + \sin(3t)$, $b(t) = 2 + q(t)$ $q(t)$ เป็นพัลส์ที่มีคาบเท่ากับ 6 วินาที ความกว้างเท่ากับ 3 วินาทีและความสูงเท่ากับ 1 หน่วย เป็นพารามิเตอร์ที่ไม่ทราบค่าแต่ต้องรู้เครื่องหมายของ $b(t)$, 2 และเครื่องหมายของ $b(t)$ คงที่ตลอดเวลา

แบบจำลองอ้างอิง

$$\dot{y}_m(t) = -3y_m(t) + \begin{bmatrix} 1 & 1 \end{bmatrix} \begin{bmatrix} r_1(t) \\ r_2(t) \end{bmatrix}$$

โดย $r_1(t) = r_2(t)$ แทนพัลส์ที่มีคาบเท่ากับ 20 วินาที ความกว้างเท่ากับ 10 วินาทีและความสูงเท่ากับ 1 หน่วย ตัวควบคุมที่ใช้เป็นไปตามสมการ (4.2.3) คือ

$$u(t) = u_1(t) - u_2(t)$$

โดยที่

$$u_1(t) = \begin{bmatrix} u_{11}(t) \\ u_{12}(t) \end{bmatrix} = - \begin{bmatrix} k_1(t) \\ k_2(t) \end{bmatrix} y(t) + \begin{bmatrix} l_1(t) & l_2(t) \\ l_3(t) & l_4(t) \end{bmatrix} \begin{bmatrix} r_1(t) \\ r_2(t) \end{bmatrix}$$

$$u_2(t) = \begin{bmatrix} l_1(t) & l_2(t) \\ l_3(t) & l_4(t) \end{bmatrix} \begin{bmatrix} 0 \\ 1 \end{bmatrix} \text{sat}(e(t)) \left(\Delta a(t)|y(t)| + \Delta b(t)|u_{11}(t)| \right)$$

กฎการปรับที่ใช้เป็นไปตามสมการ (4.2.9) ถึง (4.2.12)

$$\begin{bmatrix} \dot{k}_1(t) \\ \dot{k}_2(t) \end{bmatrix} = \begin{bmatrix} 1 \\ 1 \end{bmatrix} P e(t) y(t) - \sigma_1(t) \begin{bmatrix} k_1(t) \\ k_2(t) \end{bmatrix}$$

$$\begin{bmatrix} \dot{l}_1(t) & \dot{l}_2(t) \\ \dot{l}_3(t) & \dot{l}_4(t) \end{bmatrix} = - \begin{bmatrix} 1 \\ 1 \end{bmatrix} e(t) \begin{bmatrix} r_1(t) & r_2(t) - (\Delta a|y(t)| + \Delta b|u_{11}(t)|) \text{sat}(e(t)) \end{bmatrix} - \sigma_2(t) \begin{bmatrix} l_1(t) & l_2(t) \\ l_3(t) & l_4(t) \end{bmatrix}$$

$$\Delta \dot{a}(t) = s_1 \begin{bmatrix} 0 & 1 \end{bmatrix} \text{sat}(e(t)) \begin{bmatrix} 1 \\ 1 \end{bmatrix} P e(t) |y(t)| - \sigma_3(t) \Delta a(t)$$

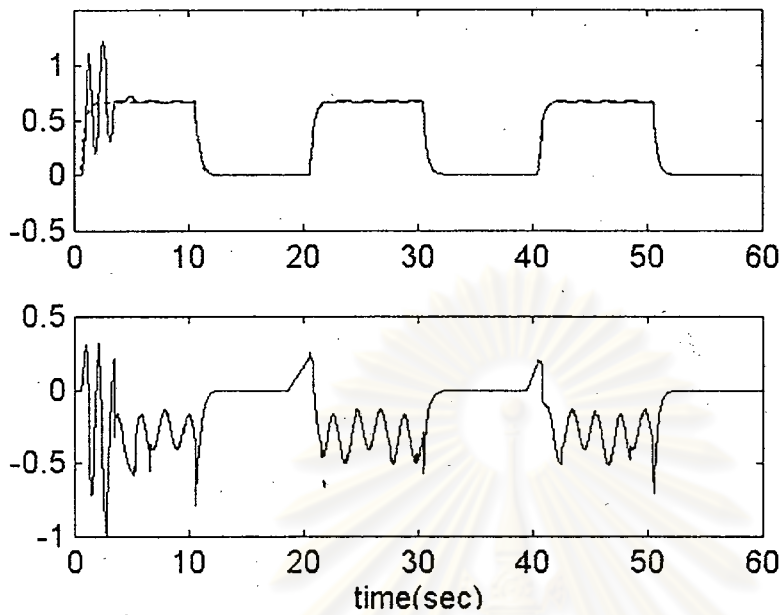
$$\Delta \dot{b}(t) = s_2 \begin{bmatrix} 0 & 1 \end{bmatrix} \text{sat}(e(t)) \begin{bmatrix} 1 \\ 1 \end{bmatrix} P e(t) |u_{11}(t)| - \sigma_4(t) \Delta b(t)$$

พารามิเตอร์ที่ต้องการได้จาก (4.2.6) คือ $a_M - a_m = B_M K_M$ และ $B_m = B_M L_M$

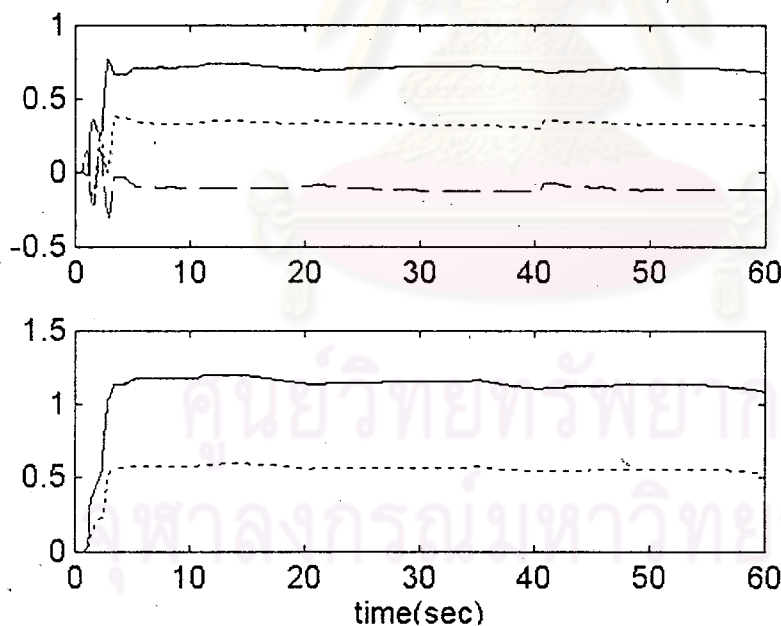
ค่าเริ่มต้นทุกค่าเป็นศูนย์และพารามิเตอร์ในการออกแบบคือ

$$P = 2, \quad \varepsilon = 0.01, \quad s_{1,2} = 1, \quad \sigma_{01,02,03,04} = 0.01, \quad R(t)^T = \begin{bmatrix} 0 & 1 \end{bmatrix} \text{sat}(e(t))$$

ผลการจำลองแสดงไว้ในรูปที่ 5.21 ถึง 5.22



รูปที่ 5.23 (บน) $y(t)$ (เส้นแข็ง) และ $y_m(t)$ (ล่าง) $u_{11}(t) = u_{12}(t)$



รูปที่ 5.24 (บน) $k_1(t) = k_2(t)$ (เส้นทึบ) $l_1(t) = l_3(t)$ (เส้นขีดขยา) $l_2(t) = l_4(t)$ (เส้นขีดสั้น)
(ล่าง) $\Delta a(t)$ (เส้นทึบ) และ $\Delta b(t)$

จากตัวอย่างนี้พารามิเตอร์ $b(t)$ เปลี่ยนแปลงอย่างไม่ต่อเนื่องดังนั้นในงานวิจัยที่จำลองระบบแปรตามเวลาด้วยฟังก์ชันถ่ายโอน [2, 3] จะไม่สามารถรับประกันเสถียรภาพของระบบวงปิดได้และระบบก็ไม่เป็นไปตามข้อสมมุติใน [9] ด้วยคือไม่สามารถเปลี่ยนส่วนที่แปรตามเวลาให้เป็นการรบกวนทางเข้ามีขอบเขตได้

ตัวอย่างที่ 5.4

จุดประสงค์ เพื่อเปรียบเทียบตัวควบคุมที่นำเสนอกับตัวควบคุมพื้นฐานในการควบคุมระบบที่ประกอบด้วยเขตไร้ผลสนอง

ขั้นตอน

1. ในขั้นแรกเราจะสมมุติว่ารู้พารามิเตอร์ของระบบเชิงเส้น ตัวควบคุมแบบพื้นฐานที่เลือกใช้จะเป็นตัวควบคุมแบบอินทิกรัลสัดส่วน (Proportional-plus-integral controller) ที่มีอัตราขยาย (Gain) คงที่ เพราะว่าผลกระทบที่สำคัญของเขตไร้ผลสนองคือการทำให้เกิดความคลาดเคลื่อนในการตามซึ่งตัวควบคุมแบบอินทิกรัลสัดส่วนจะมีคุณสมบัติในการช่วยลดความคลาดเคลื่อนนี้ได้ จากนั้นจะเปรียบเทียบผลที่ได้กับตัวควบคุมที่นำเสนอในด้านต่างๆ
2. ในกรณีที่พารามิเตอร์ของระบบเชิงเส้นมีความไม่แน่นอนดังนั้นเราจะเลือกใช้ตัวควบคุมแบบปรับตัวเองชนิดแบบจำลองอ้างอิงธรรมดา (Simple model reference adaptive control) เปรียบเทียบกับตัวควบคุมแบบปรับตัวเองที่ได้นำเสนอ

ระบบ

$$\begin{bmatrix} \dot{y}(t) \\ \ddot{y}(t) \end{bmatrix} = \begin{bmatrix} 0 & 1 \\ 6 & 1 \end{bmatrix} \begin{bmatrix} y(t) \\ \dot{y}(t) \end{bmatrix} + \begin{bmatrix} 0 \\ -2 \end{bmatrix} u(t)$$

แบบจำลองอ้างอิง

$$\begin{bmatrix} \dot{y}_m(t) \\ \ddot{y}_m(t) \end{bmatrix} = \begin{bmatrix} 0 & 1 \\ -4 & -4 \end{bmatrix} \begin{bmatrix} y_m(t) \\ \dot{y}_m(t) \end{bmatrix} + \begin{bmatrix} 0 \\ 1 \end{bmatrix} r(t)$$

ระบบเชิงเส้นที่พิจารณาคือระบบเดียวกับตัวอย่างที่ 5.2 แต่สมมุติว่าความชันของเขตไร้ผลสนองเท่ากัน โดยมีแถบไร้ผลสนองเปลี่ยนแปลงอยู่ระหว่าง $b_1 = -0.2$, $b_r = 0.6$ และ $b_l = -0.5$, $b_r = 0.4$ และมีความชัน $m_r = m_l = 1$ สัญญาณอ้างอิงเป็นพัลส์ที่มีคาบ 20 วินาที ความกว้าง 10 วินาที และความสูง 1 หน่วย

ตัวควบคุมแบบอินทิกรัลสัดส่วนที่มีอัตราขยายคงที่

$$v(t) = -k_1^* y(t) - k_2^* \dot{y}(t) + l^* r(t) - g_1 \operatorname{sgn}(l^*) \int_0^t e(t) dt - g_2 \operatorname{sgn}(l^*) \int_0^t \dot{e}(t) dt \quad (5.4.1)$$

ตัวควบคุมที่นำเสนอแบบมีอัตราขยายคงที่

$$v(t) = -k_1^* y(t) - k_2^* \dot{y}(t) + l^* r(t) - \delta^* \operatorname{sgn}(l^*) \operatorname{sat}(s(t)) \quad (5.4.2)$$

ตัวควบคุมแบบปรับตัวเองชนิดแบบจำลองอ้างอิงธรรมดา

$$v(t) = -k_1(t)y(t) - k_2(t)\dot{y}(t) + l(t)r(t) \quad (5.4.3)$$

ตัวควบคุมแบบปรับตัวเองที่นำเสนอง

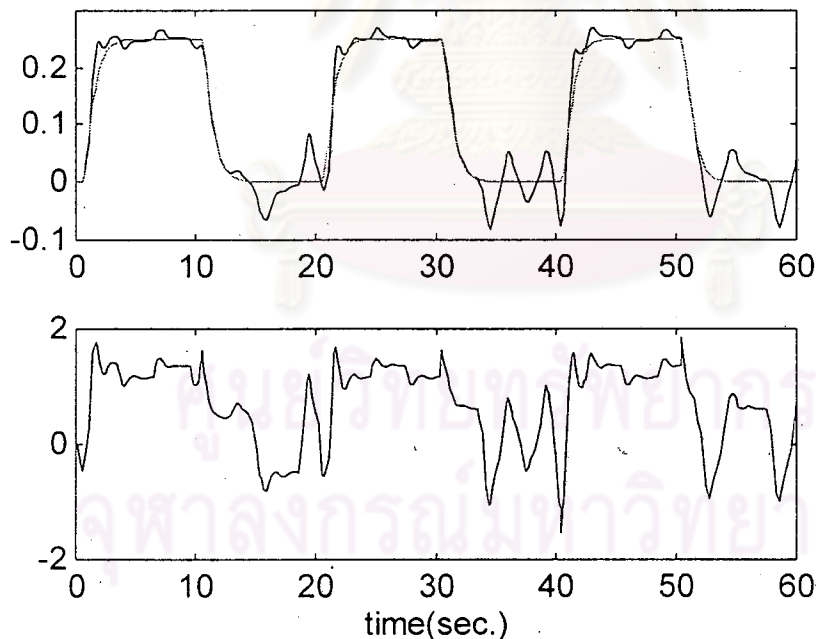
$$v(t) = -k_1(t)y(t) - k_2(t)\dot{y}(t) + l(t)r(t) - \delta(t)\text{sgn}(l^*)\text{sat}(s(t)) \quad (5.4.4)$$

โดยเลือก $s(t) = e(t)^T P b_m = 7.5e_1 + 2.25e_2$, $\varepsilon = \frac{1}{5}$ ในกรณีที่ทราบความชันของเขตไร้ผล
สอง จากเงื่อนไขเท่าเทียม $A - A_m = b m K^*$ และ $b_m = b m l^*$ จะสามารถหาพารามิเตอร์ที่ต้องการได้ คือ
 $k_1^* = -5$, $k_2^* = -\frac{5}{2}$, $l^* = -\frac{1}{2}$

ต่อไปจะเป็นการเปรียบเทียบตัวควบคุมตามขั้นตอนที่ได้กล่าวไว้

การทดสอบที่ 5.4.1 เพื่อศึกษาผลของการเปลี่ยนค่าตัวแปรในการออกแบบ g_1 , g_2 และ δ^* ในตัวควบคุม (5.4.1) และ (5.4.2) ตามลำดับ

ผลการจำลองที่ได้จากการเลือก $g_1 = 10$, $g_2 = 10$ และ $g_1 = 100$, $g_2 = 100$ แสดงไว้ในรูปที่ 5.25 ถึง 5.26

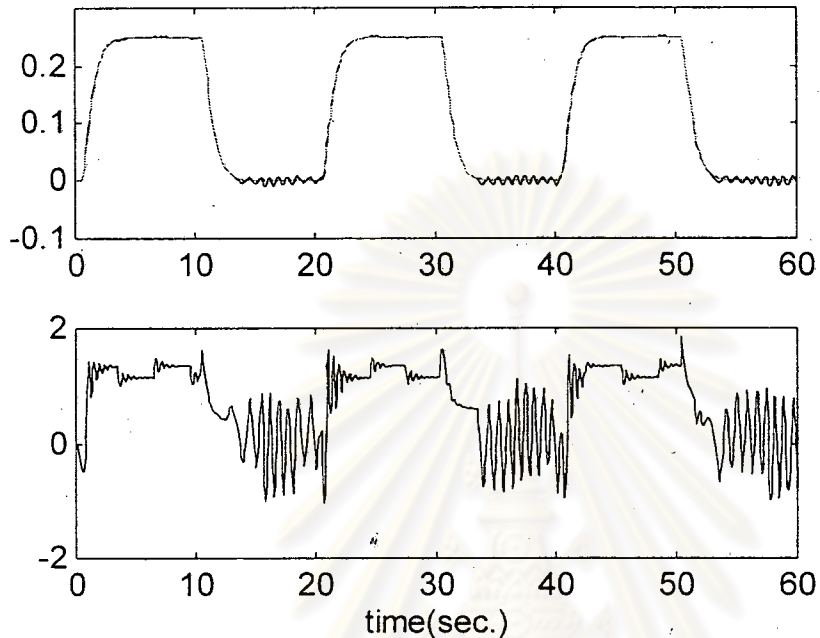


รูปที่ 5.25 ผลการจำลองที่ได้จากตัวควบคุม (5.4.1) เมื่อเลือกค่า $g_1 = 10$, $g_2 = 10$

(บน) $y(t)$ (เส้นเข้ม) และ $y_m(t)$ (ล่าง) สัญญาณควบคุม $v(t)$ จาก (5.4.1)

จากผลการจำลองพบว่า การเพิ่มขนาดของ g_1 , g_2 จะสามารถลดขนาดของความคลาดเคลื่อนในการตามได้ แต่สัญญาณควบคุมจะมีการแกว่งเพิ่มขึ้น ในช่วงที่สัญญาณควบคุมอยู่ภายในแถบไร้ผลสอง (ในช่วงวินาทีที่ 10 - 20, 30 - 40 และ 50 - 60) ส่วนอินทิกรัลจะพยายามเพิ่มขนาดของสัญญาณ

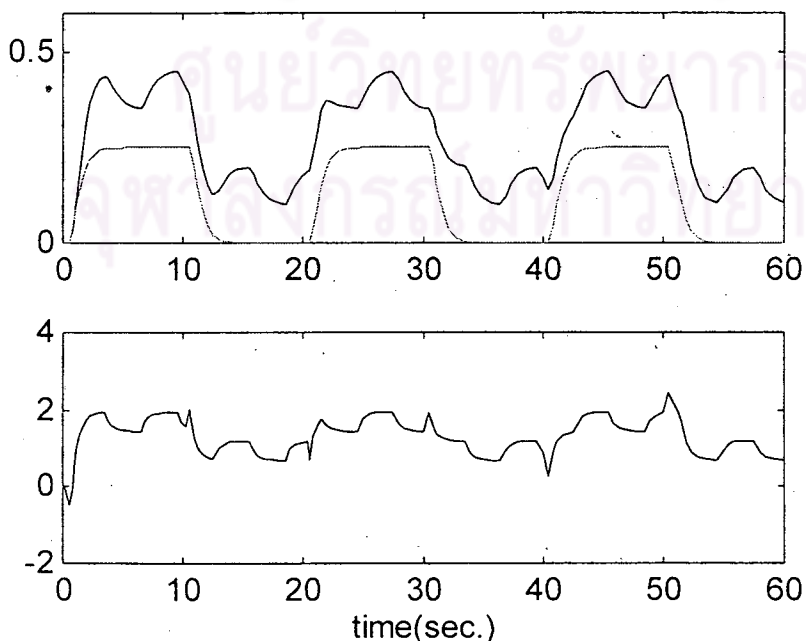
ควบคุมจึงทำให้เกิดการแกว่ง ระดับของการแกว่งจะมากถ้าระบบเชิงเส้นเดิมไม่เสถียรอยู่แล้วและจะเห็นได้ชัดขึ้นอีกถ้าสัญญาณอ้างอิงมีขนาดเล็ก



รูปที่ 5.26 ผลการจำลองที่ได้จากตัวควบคุม (5.4.1) เมื่อเลือกค่า $g_1 = 100$, $g_2 = 100$

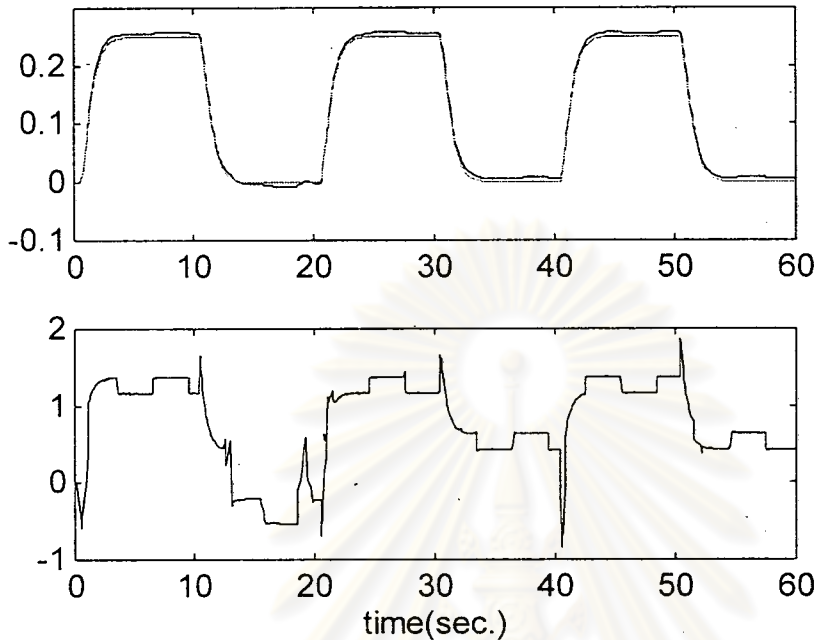
(บน) $y(t)$ (เส้นเข้มน) และ $y_m(t)$ (ล่าง) สัญญาณควบคุม $v(t)$ จาก (5.4.1)

ค่าของ δ^* ในตัวควบคุม (5.4.2) เป็นขอบเขตบนของ $b_r(t)$, $b_l(t)$ โดยทดลองใช้ค่าที่น้อยกว่าคือ $\delta^* = 0.2$ ได้ผลตามรูปที่ 5.27 และ $\delta^* = 1$ ซึ่งเป็นขอบเขตบนของ $b_r(t)$, $b_l(t)$ ได้ผลตามรูปที่ 5.28



รูปที่ 5.27 ผลการจำลองที่ได้จากตัวควบคุม (5.4.2) เมื่อเลือกค่า $\delta^* = 0.2$

(บน) $y(t)$ (เส้นเข้มน) และ $y_m(t)$ (ล่าง) สัญญาณควบคุม $v(t)$ จาก (5.4.2)



รูปที่ 5.28 ผลการจำลองที่ได้จากตัวควบคุม (5.4.2) เมื่อเลือกค่า $\delta^* = 1$

(บน) $y(t)$ (เส้นแข็ง) และ $y_m(t)$ (ล่าง) สัญญาณควบคุม $v(t)$ จาก (5.4.2)

ทำนองเดียวกับค่า g_1, g_2 คือ การเพิ่มขนาดของ δ^* จะทำให้ขนาดของความคลาดเคลื่อนลดลง แต่สัญญาณควบคุมที่ได้ก็จะมีค่าเพิ่มขึ้น ข้อแตกต่างที่เห็นได้ชัดเมื่อเทียบกับการควบคุมแบบ อินทิกรัลสัดส่วนคือระดับของการแกว่งจะน้อยกว่าเมื่อสัญญาณควบคุมอยู่ในแถบไร้ผลสนอง

เราลองมาวิเคราะห์ผลที่ได้จากการจำลอง พิจารณาตัวควบคุมอินทิกรัลสัดส่วน (5.4.1) ในกรณีที่สัญญาณควบคุม $v(t)$ อยู่นอกแถบไร้ผลสนอง สมการความคลาดเคลื่อนที่ได้คือ

$$\dot{e}(t) = A_m e + bmG \int edt - bmb_{r,l} \quad \text{โดย } b_{r,l} \text{ แทน } b_r \text{ หรือ } b_l \text{ และ } e = [y - y_m \quad \dot{y} - \dot{y}_m]^T$$

กำหนดให้ $z = \int edt$ ดังนั้น $\dot{z} = e$ นำสมการทั้งสองมาเขียนรวมกันได้ดังนี้

$$\dot{\zeta} = A_M \zeta - \begin{bmatrix} bmb_{r,l} \\ 0 \end{bmatrix} = \begin{bmatrix} A_m & bmG \\ I & 0 \end{bmatrix} \zeta - \begin{bmatrix} bmb_{r,l} \\ 0 \end{bmatrix} \quad (5.4.5)$$

$$\text{โดย } \zeta = \begin{bmatrix} e \\ z \end{bmatrix}$$

$$\dot{\zeta} = \begin{bmatrix} 0 & 1 & 0 & 0 \\ -4 & -4 & -2g_1 & -2g_2 \\ 1 & 0 & 0 & 0 \\ 0 & 1 & 0 & 0 \end{bmatrix} \zeta - \begin{bmatrix} 0 \\ -2 \\ 0 \\ 0 \end{bmatrix} b_{r,l} \quad (5.4.6)$$

ถ้า $g_1 = 10, g_2 = 10$ ระบบวงปิด (5.4.6) จะมีรากอยู่ที่ $0, -0.9475, -1.5262 \pm 4.3334j$

ถ้า $g_1 = 100, g_2 = 100$ ระบบวงปิด (5.4.6) จะมีรากอยู่ที่ $0, -0.9950, -1.5025 \pm 14.098j$

ในกรณีที่สัญญาณควบคุม $v(t)$ อยู่ในแถบไรรวมสอง สมการความคลาดเคลื่อนที่ได้ คือ

$$\dot{\zeta} = \begin{bmatrix} 0 & 1 & 0 & 0 \\ -4 & -4 & -2g_1 & -2g_2 \\ 1 & 0 & 0 & 0 \\ 0 & 1 & 0 & 0 \end{bmatrix} \zeta - \begin{bmatrix} 0 \\ -2 \\ 0 \\ 0 \end{bmatrix} v \quad (5.4.7)$$

ซึ่งรากของระบบวงปิด (5.4.7) ยังคงเหมือนใน (5.4.6)

ส่วนตัวควบคุม (5.4.2) การวิเคราะห์จะเหมือนกับที่เคยกล่าวไว้ในบทที่ 4 เริ่มพิจารณาจากกรณีที่สัญญาณควบคุม $v(t)$ อยู่นอกแถบไรรวมสอง สมการความคลาดเคลื่อนที่ได้ คือ

$$\dot{e}(t) = A_m e + bm\delta^* \text{sat}(s) - bmb_{r,l} \quad (5.4.8)$$

และเมื่อสัญญาณควบคุมอยู่ในเขตไรรวมสอง

$$\dot{e}(t) = A_m e + bm\delta^* \text{sat}(s) - bmv \quad (5.4.9)$$

ซึ่งมีรากเหมือนกันคือ $-2, -2$

ถ้า δ^* เป็นขอบเขตบนของ b_r และ b_l จริงๆ เราสามารถบอกได้ว่าความคลาดเคลื่อนในการตามจะลดลงจนกว่าขนาดของ s น้อยกว่า ε ดังที่เคยได้พิสูจน์แล้วในบทที่ 4

เมื่อเปรียบเทียบขนาดของความคลาดเคลื่อนระหว่างรูปที่ 5.26 กับ 5.28 พบว่ามีขนาดใกล้เคียงกันดังนั้นเราจะใช้ค่าของตัวแปรในการออกแบบนี้ ($g_1 = 100, g_2 = 100$ และ $\delta^* = 1$) กับตัวควบคุมทั้งสองสำหรับการทดสอบที่ 5.4.2

การทดสอบที่ 5.4.2 เพื่อศึกษาถึงความมั่นคงต่อการรบกวนแบบต่างๆ

เป็นที่ทราบกันดีว่าตัวควบคุมแบบอินทิกรัลสัดส่วนมีความมั่นคงต่อการรบกวนทางเข้าและการรบกวนทางออกอยู่ในระดับหนึ่ง เช่นเดียวกันตัวควบคุมที่นำเสนอก็มีความมั่นคงอยู่ในระดับหนึ่งดังที่ได้เคยทดสอบมาแล้วในตัวอย่างแรก ดังนั้นสำหรับการทดสอบนี้จะใช้การรบกวนที่แตกต่างออกไปคือ

1. ระบบส่วนที่เป็นเชิงเส้นถูกรบกวนจนทำให้มีการเปลี่ยนแปลงจุดทำงานไปชั่วขณะดังนี้

$$\begin{bmatrix} \dot{y}(t) \\ \dot{y}(t) \end{bmatrix} = \begin{bmatrix} 0 & 1 \\ 6 & 1+d(t) \end{bmatrix} \begin{bmatrix} y(t) \\ \dot{y}(t) \end{bmatrix} + \begin{bmatrix} 0 \\ -2 \end{bmatrix} u(t) \quad \text{โดย } d(t) = \begin{cases} 3, & 30 \leq t \leq 40 \\ 0, & \text{อื่นๆ} \end{cases}$$

2. สัญญาณควบคุมถูกประวิงเวลาไป 0.1 วินาที

ผลการจำลองที่ได้เป็นไปตามรูปที่ 5.29 ถึง 5.32

เมื่อมีการรบกวนในขณะ $d(t)=3$ สมการความคลาดเคลื่อน (5.4.6) จะเปลี่ยนเป็น

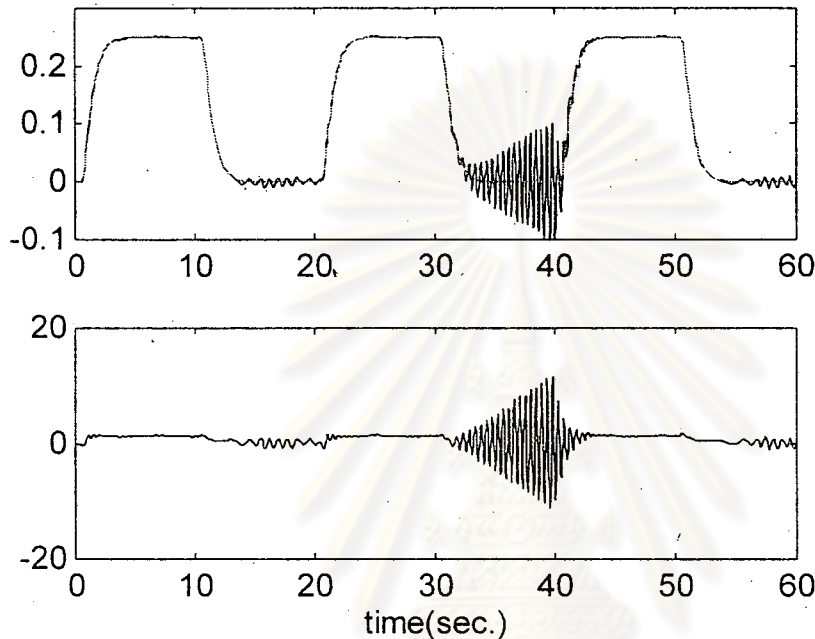
$$\dot{\zeta} = \begin{bmatrix} 0 & 1 & 0 & 0 \\ -4 & -4+3 & -2g_1 & -2g_2 \\ 1 & 0 & 0 & 0 \\ 0 & 1 & 0 & 0 \end{bmatrix} \zeta + \begin{bmatrix} 0 & 0 \\ 0 & 3 \\ 0 & 0 \\ 0 & 0 \end{bmatrix} \zeta - \begin{bmatrix} 0 \\ -2 \\ 0 \\ 0 \end{bmatrix} b_{r,l} \quad \text{โดย } \underline{y}_m = \begin{bmatrix} y_m \\ \dot{y}_m \end{bmatrix} \quad (5.4.10)$$

รากของระบบวงปิดจะเปลี่ยนไปเป็น $0, -0.9805, -0.0098 \pm 14.2822j$ สมการ (5.4.7) ก็เป็นไปในลักษณะเดียวกัน

ส่วนตัวควบคุมที่นำเสนอสมการความคลาดเคลื่อนจะเปลี่ยนจาก (5.4.8) เป็น

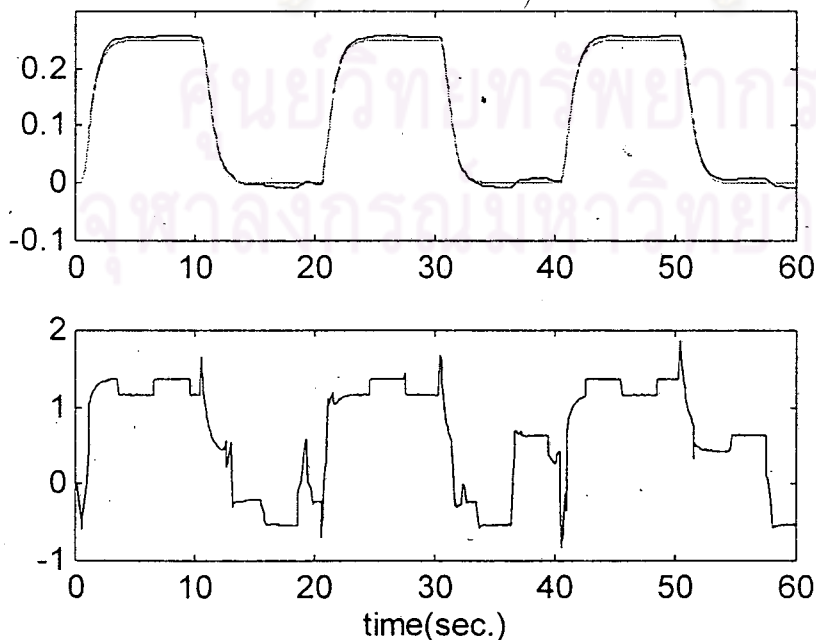
$$\dot{e}(t) = A_m e + D e + D y_m + b m \delta^* \text{sat}(s) - b m b_{r,l} \quad \text{โดย } D = \begin{bmatrix} 0 & 0 \\ 0 & 3 \end{bmatrix} \quad (5.4.11)$$

ซึ่งมีรากอยู่ที่ $-0.5 \pm 1.9365j$ สมการ (5.4.9) ก็เป็นไปในลักษณะเดียวกัน



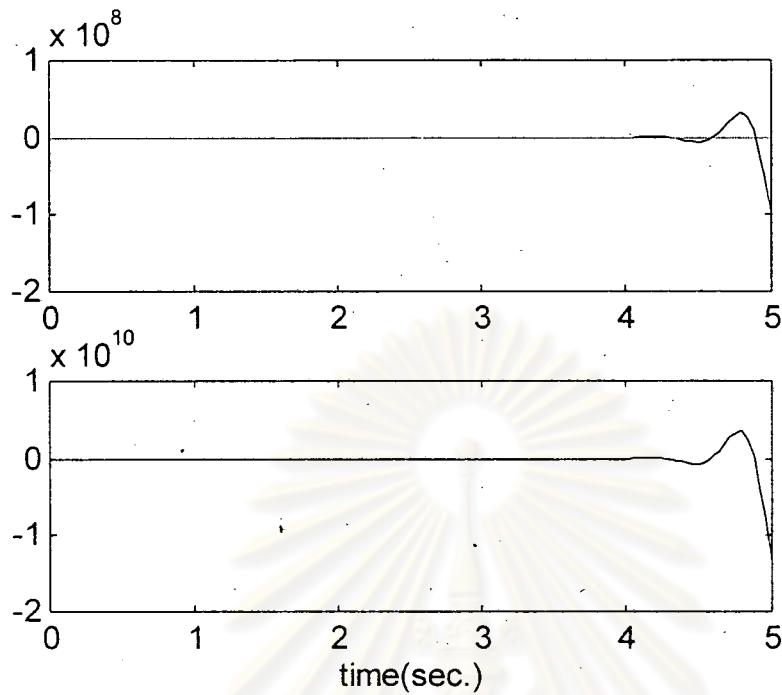
รูปที่ 5.29 ผลการจำลองที่ได้จากตัวควบคุม (5.4.1) ($g_1 = 100$, $g_2 = 100$) เมื่อมีการรบกวน $d(t)$

(บน) $y(t)$ (เส้นเข้ม) และ $y_m(t)$ (ล่าง) สัญญาณควบคุม $v(t)$ จาก (5.4.1)

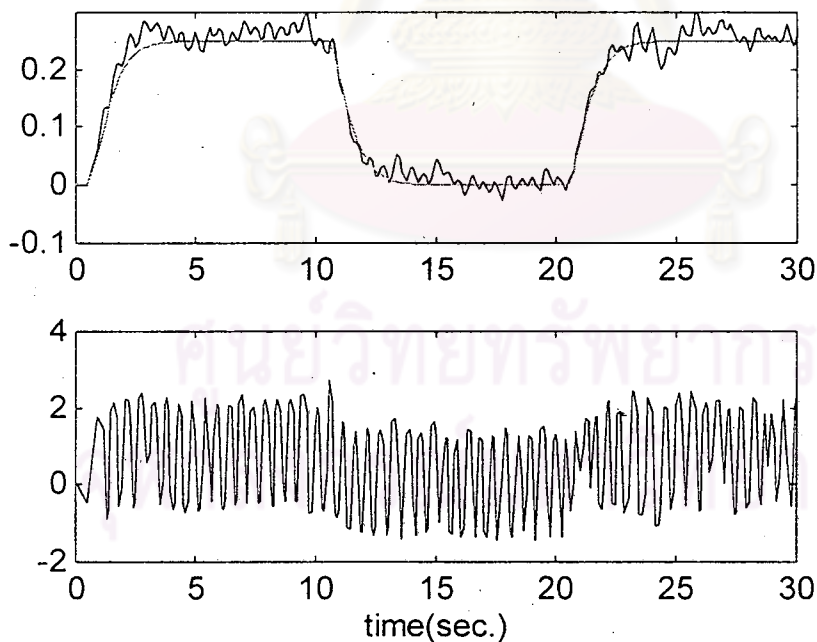


รูปที่ 5.30 ผลการจำลองที่ได้จากตัวควบคุม (5.4.2) ($\delta^* = 1$) เมื่อมีการรบกวน $d(t)$

(บน) $y(t)$ (เส้นเข้ม) และ $y_m(t)$ (ล่าง) สัญญาณควบคุม $v(t)$ จาก (5.4.2)



รูปที่ 5.31 ผลการจำลองที่ได้จากตัวควบคุม (5.4.1) ($g_1 = 100$, $g_2 = 100$) เมื่อสัญญาณควบคุมถูกประวิงเวลาไป 0.1 วินาที (บน) $y(t)$ (เส้นเข้ม) และ $y_m(t)$ (ล่าง) สัญญาณควบคุม $v(t)$ จาก (5.4.1)



รูปที่ 5.32 ผลการจำลองที่ได้จากตัวควบคุม (5.4.2) ($\delta^* = 1$) เมื่อสัญญาณควบคุมถูกประวิงเวลาไป 0.1 วินาที (บน) $y(t)$ (เส้นเข้ม) และ $y_m(t)$ (ล่าง) สัญญาณควบคุม $v(t)$ จาก (5.4.2)

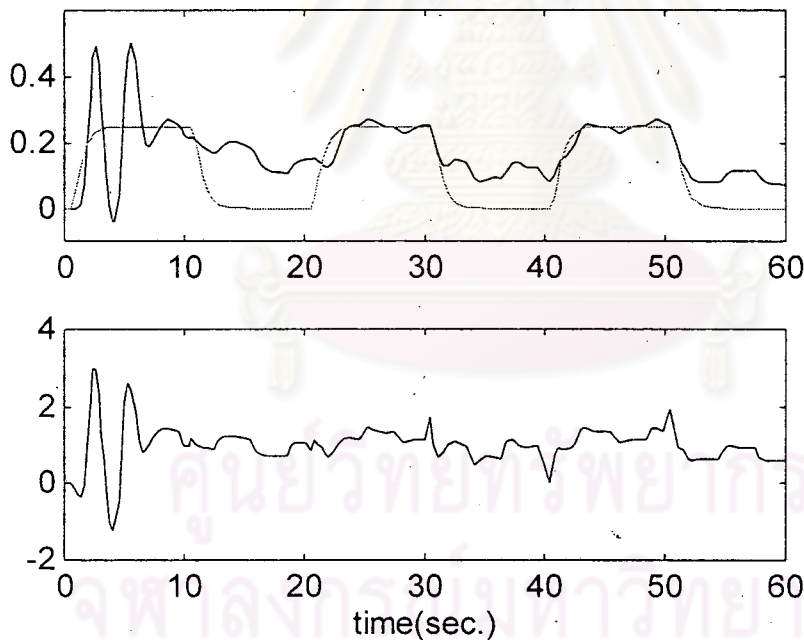
จะเห็นว่าแม้ในสภาวะปกติตัวควบคุมทั้งสองจะสามารถทำให้ขนาดของความคลาดเคลื่อนลดลงได้เหมือนกัน แต่การใช้อัตราขยายที่สูงเกินไปเพื่อลดความคลาดเคลื่อนในการตามของตัวควบคุมอินทิกรัลสัดส่วนจะทำให้ผลตอบสนองที่ได้แกว่งเมื่อระบบถูกรบกวน

การทดสอบที่ 5.4.3 เพื่อเปรียบเทียบผลตอบสนองที่ได้จากตัวควบคุมแบบปรับตัวเองชนิดแบบจำลองอ้างอิงธรรมดากับตัวควบคุมที่นำเสนอ

ในกรณีที่พารามิเตอร์ของระบบเชิงเส้นมีความไม่แน่นอนสูงเรายังไม่สามารถหากฎการปรับที่เหมาะสมให้กับตัวควบคุม (5.4.1) สำหรับควบคุมระบบเชิงเส้นธรรมดาได้ (ยกเว้นระบบอันดับหนึ่ง) ดังนั้นจึงเปลี่ยนไปใช้ตัวควบคุมแบบปรับตัวเองชนิดแบบจำลองอ้างอิงธรรมดา (5.4.3) แทน เหตุผลอีกประการหนึ่งในการเลือกตัวควบคุมแบบปรับตัวเองชนิดโมเดลอ้างอิงมาเปรียบก็คือ ตัวควบคุมแบบอินทิกรัลสัดส่วนที่มีการปรับอัตราขยายเพื่อให้สัญญาณออกของระบบตามสัญญาณออกของแบบจำลอง ถือได้ว่าเป็นการควบคุมแบบปรับตัวเองชนิดแบบจำลองอ้างอิงแบบหนึ่ง [8] และโครงสร้างก็เป็นไปในลักษณะเดียวกัน

ส่วนของระบบที่พิจารณาเหมือนกับการทดสอบที่ 5.4.2 คือ

$$\begin{bmatrix} \dot{y}(t) \\ \dot{y}(t) \end{bmatrix} = \begin{bmatrix} 0 & 1 \\ 6 & 1+d(t) \end{bmatrix} \begin{bmatrix} y(t) \\ \dot{y}(t) \end{bmatrix} + \begin{bmatrix} 0 \\ -2 \end{bmatrix} u(t) \quad \text{โดย } d(t) = \begin{cases} 3, & 30 \leq t \leq 40 \\ 0, & \text{อื่นๆ} \end{cases}$$



รูปที่ 5.33 ผลการจำลองที่ได้จากตัวควบคุม (5.4.3)

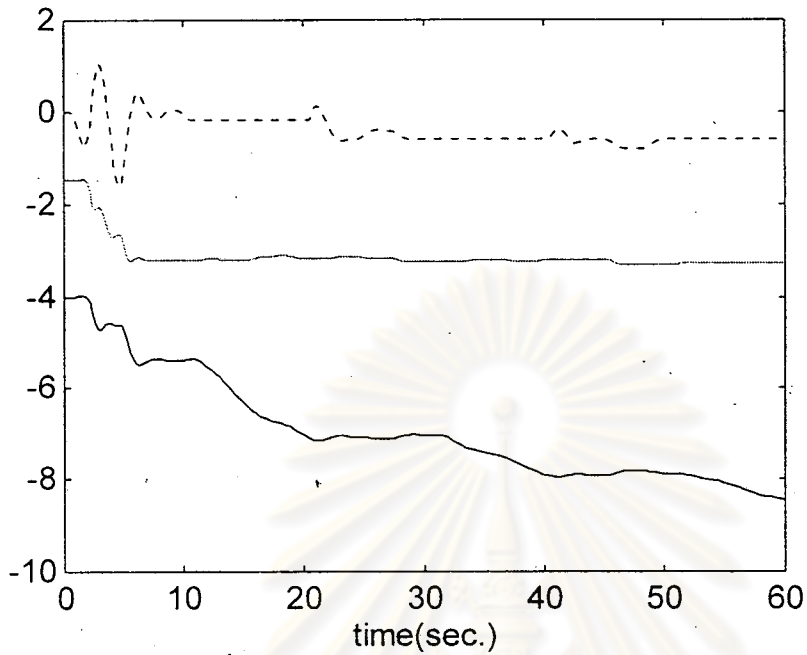
(บน) $y(t)$ (เส้นเข้ม) และ $y_m(t)$ (ล่าง) สัญญาณควบคุม $v(t)$ จาก (5.4.3)

สำหรับตัวควบคุม (5.4.3) กฎการปรับที่ใช้เป็นกฎการปรับสำหรับการควบคุมแบบปรับตัวเองชนิดแบบจำลองอ้างอิงธรรมดา คือ

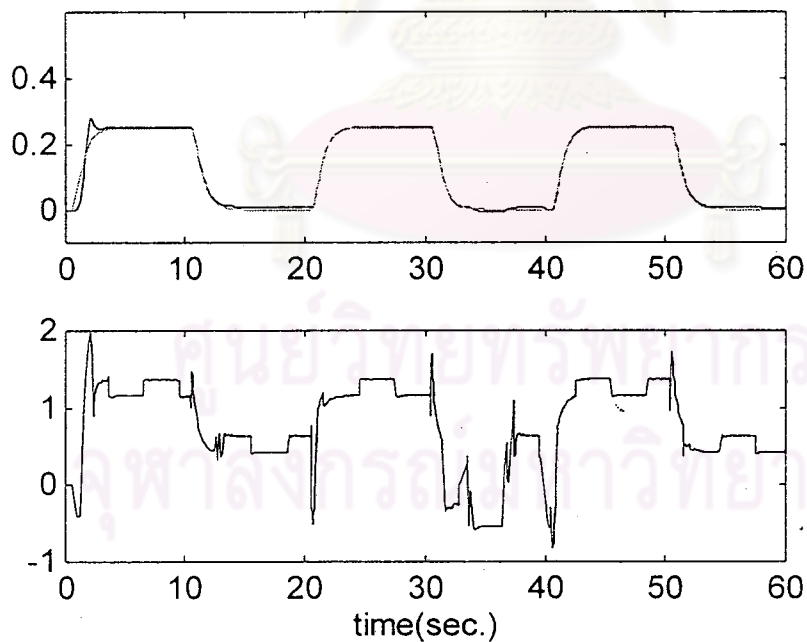
$$\begin{bmatrix} \dot{k}_1(t) & \dot{k}_2(t) \end{bmatrix} = b_m^T P e(t) \begin{bmatrix} y(t) & \dot{y}(t) \end{bmatrix} \text{sgn}(l^*) \quad \text{และ} \quad \dot{l}(t) = -b_m^T P e(t) r(t) \text{sgn}(l^*)$$

โดย

$$P = \begin{bmatrix} 39 & 7.5 \\ 7.5 & 2.25 \end{bmatrix} \quad \text{ค่าเริ่มต้นคือ } k_1(0) = -4, \quad k_2(0) = -1.5, \quad l(0) = 0$$



รูปที่ 5.34 พารามิเตอร์ของตัวควบคุม (5.4.3)
(เส้นเข็ม) $k_1(t)$ (เส้นจาง) $k_2(t)$ (เส้นประ) $l(t)$



รูปที่ 5.35 ผลการจำลองที่ได้จากตัวควบคุม (5.4.4)

(บน) $y(t)$ (เส้นเข็ม) และ $y_m(t)$ (ล่าง) สัญญาณควบคุม $v(t)$ จาก (5.4.4)

ส่วนตัวควบคุม (5.4.4) กฎการปรับที่ใช้เป็นกฎการปรับที่ได้เสนอไว้ใน (4.3.9) ถึง (4.3.11)

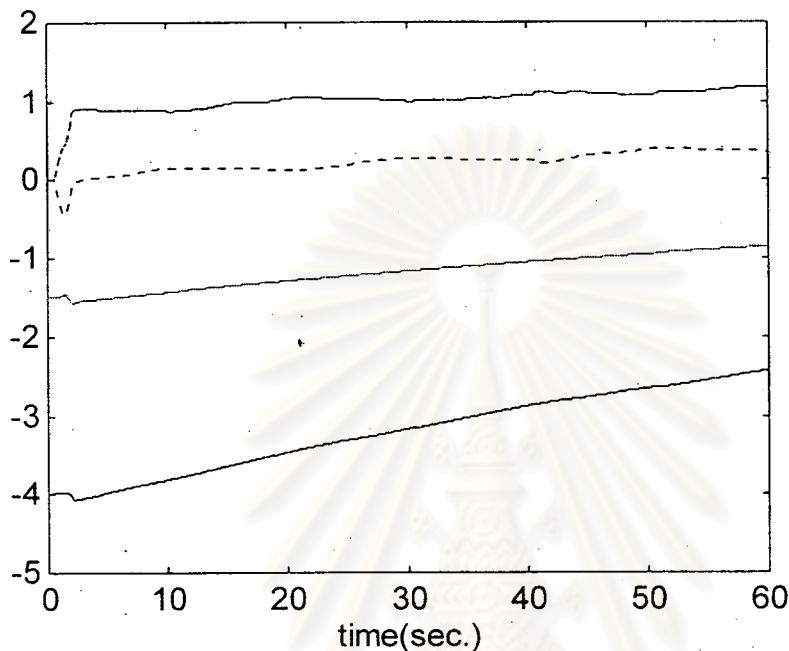
โดย $P = \begin{bmatrix} 39 & 7.5 \\ 7.5 & 2.25 \end{bmatrix}$, $\varepsilon = \frac{1}{5}$ ค่าเริ่มต้นคือ $k_1(0) = -4$, $k_2(0) = -1.5$, $l(0) = 0$, $\delta(0) = 0$

ค่าเริ่มต้นและค่าของเมทริกซ์ P จะเหมือนกับตัวควบคุม (5.4.3) ข้อสังเกตอีกอย่างหนึ่งในการเลือก

P คือ ในที่นี้เราให้ความสำคัญกับ $y(t)$ มากกว่า ดังนั้นสัมประสิทธิ์ที่คูณอยู่กับ $e_1(t) = y(t) - y_m(t)$

ใน $s(t) = e(t)^T P b_m = 7.5e_1 + 2.25e_2$ จึงควรมีค่ามากกว่า

ผลการจำลองแสดงไว้ในรูปที่ 5.35 และ 5.36



รูปที่ 5.36 พารามิเตอร์ของตัวควบคุม (5.4.4)

(จากบน→ล่าง) $\alpha(t)$, $l(t)$, $k_2(t)$ และ $k_1(t)$

ผลที่สังเกตเห็นได้คือแม้ในช่วงที่ไม่มีกรรบกวนจากภายนอก ตัวควบคุมแบบปรับตัวเอง ชนิดแบบจำลองอ้างอิงธรรมดาใน (5.4.3) ก็ไม่สามารถลดความคลาดเคลื่อนที่เกิดจากเขตไร้ผลสนองได้ ถ้าสังเกตพารามิเตอร์ $k_1(t)$ ในรูปที่ 5.34 จะเห็นว่ามีความเป็นไปได้ที่ระบบวงปิดจะขาดเสถียรภาพ เพราะ $k_1(t)$ ของ (5.4.3) อาจไม่มีขอบเขต

ศูนย์มหาวิทยาลัยทรพยากร
จุฬาลงกรณ์มหาวิทยาลัย